



ตัวอัดประจุแบตเตอรี่แบบพกพาสำหรับยานยนต์ขนาดเล็ก

**PORABLE BATTERY CHARGER
FOR ELECTRIC BICYCLES/SCOOTERS**

นายนพพล หมู่มาก รหัส 49360853

ห้องสมุดคณะวิศวกรรมศาสตร์	
วันที่รับ.....	๑๑/๘.๔. ๒๕๕๕
เลขทะเบียน.....	๔๕๓๒๙๔๓
เลขเรียกหนังสือ.....	๗๖๗
มหาวิทยาลัยแม่ฟ้า	

๒๕๖๒

ปริญญา呢พนนีเป็นส่วนหนึ่งของการศึกษาหลักสูตรปริญญาวิศวกรรมศาสตรบัณฑิต
สาขาวิชาวิศวกรรมไฟฟ้า ภาควิชาวิศวกรรมไฟฟ้าและคอมพิวเตอร์

คณะวิศวกรรมศาสตร์ มหาวิทยาลัยแม่ฟ้า

ปีการศึกษา ๒๕๕๒



ใบรับรองปริญญาบัตร

ชื่อหัวข้อโครงการ ตัวอักษรประจุแบบเดอร์แบบพกพาสำหรับขานยนต์ขนาดเล็กสองล้อ
ผู้ดำเนินโครงการ นายนพพล หนูนาก รหัส 49360853
ที่ปรึกษาโครงการ ดร. สมพร เรืองสินชัยวนิช
สาขาวิชา วิศวกรรมไฟฟ้า
ภาควิชา วิศวกรรมไฟฟ้าและคอมพิวเตอร์
ปีการศึกษา 2552

คณะวิศวกรรมศาสตร์ มหาวิทยาลัยเร嫂ว อนุมัติให้ปริญญานิพนธ์ฉบับนี้เป็นส่วนหนึ่ง
ของการศึกษาตามหลักสูตรวิศวกรรมศาสตรบัณฑิต สาขาวิชาวิศวกรรมไฟฟ้า

ที่ปรึกษาโครงการ

(ดร. สมพร เรืองสินชัยวนิช)

กรรมการ

(ดร. นุชิกา แสงชัยจันทร์)

กรรมการ

(อ. แสงชัย มังกรทอง)

ชื่อหัวข้อโครงการ	ตัวอัคประจุแบบเตอร์รี่แบบพกพาสำหรับยานยนต์ขนาดเล็กสองล้อ
ผู้ดำเนินโครงการ	นายนพพล หมู่มาก รหัส 49360853
ที่ปรึกษาโครงการ	ดร. สมพร เรืองสินชัยวนิช ดร. พงศ์พิชญ์ วิภาสุรนพชาต
สาขาวิชา	วิศวกรรมไฟฟ้า
ภาควิชา	วิศวกรรมไฟฟ้าและคอมพิวเตอร์
ปีการศึกษา	2552

บทคัดย่อ

ปัญหาโลกร้อนเป็นวิกฤตที่ท้าทายต่อสังคมโลกอย่างมาก ปัจจัยหนึ่งที่ทำให้เกิดปัญหาโลกร้อนคือปริมาณการบ่อน้ำออกไนโตรเจน (CO_2) ทำให้อุณหภูมิโลกยังคงเพิ่มสูงขึ้น โดยเฉพาะอย่างยิ่ง รถไฟฟ้าและยานยนต์ ถูกทดสอบ (Hybrid) โครงการนี้นำเสนองานสร้างตัวอัคประจุแบบเตอร์รี่ตันแบบสำหรับจักรยานไฟฟ้า ด้วยเทคนิคการใช้สวิตซ์เชิงเหว่าอร์ซัพพลายชิคคันเวอร์เตอร์แบบฟลายแบก ที่สามารถอัคประจุได้จากระยะไฟ 220 VAC 50 Hz สำหรับจักรยานไฟฟ้า โดยเน้นที่ตัวอัคประจุแบบเตอร์รี่ตันแบบนี้ขนาดเล็ก น้ำหนักเบา สามารถพกพาได้สะดวกและมีราคาถูกเมื่อเทียบกับอุปกรณ์อัคประจุแบบเดิม แต่ในการทดสอบตัวอัคประจุแบบเตอร์รี่ตันแบบที่สร้างขึ้นนั้น จะเริ่มจากการทดสอบกับไฟลอด อิเล็กทรอนิกส์ (DC Load Electronic) เพื่อสังเกตลักษณะการรักษากระแสดันแรงดันและความคุณภาพแสงของวงจรอัคประจุตันแบบ เมื่อว่างจรอัคประจุแบบเตอร์รี่ตันแบบสามารถรักษากระแสดันแรงดันและกระแสได้ตามที่ต้องการ จึงนำไปทำการทดสอบอัคประจุแบบเตอร์รี่ตันแบบใหม่ ซึ่งจำเป็นต้องทดสอบกับไฟลอด อิเล็กทรอนิกส์ (DC Load Electronic) เพื่อสังเกตลักษณะการรักษากระแสดันแรงดันและความคุณภาพแสงของวงจรอัคประจุแบบเตอร์รี่ตันแบบ เมื่อว่างจรอัคประจุแบบเตอร์รี่ตันแบบใหม่จะสามารถทำงานได้ทั้งในโหมดครั้งยาระดับแรงดันและโหมดควบคุมกระแสได้ เมื่อทำการประกอบวงจรลงแผ่นปริน์ จะได้วงจรอัคประจุแบบเตอร์รี่ตันขนาดเล็ก สามารถพกพาได้สะดวกและน้ำหนักเบาตามที่ออกแบบไว้

Project title	Portable Battery Charger for Electric Bicycles/Scooters	
Name	Mr. Nopphon Moomak	ID. 49360853
Project advisor	Mr. Somporn Ruangsinchaiwanich, Ph.D.	
	Mr. Pongpit Wipasuramonton, Ph.D.	
Major	Electrical Engineering	
Department	Electrical and Computer Engineering	
Academic year	2009	

Abstract

Global warning is a crisis that we are facing. One of the factors causing **this problem is the carbon dioxide (CO₂) emission**. To lessen this problem, automotive and motorcycle industries have manufactured more vehicles that use alternative energy, for example electric car and hybrid car. This project proposed a battery charger prototype for electric bicycles by **using a fly-back type switched mode power supply** and supplied by 220 VAC 50 Hz of the electric power system. The prototype was designed to be more compact, lighter, more portable, and cheaper than the conventional battery chargers. The prototype was tested by the electronic DC load in order to observe its voltage regulation and current limit. The expected test results are that **the current limit is not over 1.2 Amp and the voltage level is not over 42 Volt**. When the circuit of the prototype had the expected results, it was used to test with the real lead-acid battery. Consequently, both voltage and current signals are slightly rippled. However the prototype has the satisfactory characteristics, i.e. it can maintain the voltage level and current limit.

กิตติกรรมประกาศ

โครงการนี้ได้รับการสนับสนุนจากโครงการสร้างปัญญาวิทย์ผลิตนักเทคโนโลยีพัฒนาบัณฑิตและนักวิจัย สูนย์การพัฒนากำลังคน สำนักพัฒนากำลังคนทางวิทยาศาสตร์และเทคโนโลยี สำนักงานพัฒนาวิทยาศาสตร์และเทคโนโลยีแห่งชาติ (สวทช.) (รหัสโครงการ SP52 - NTI 1)

ผู้เขียนโครงการขอกราบขอบพระคุณอาจารย์ ดร. สมพร เรืองสินชัยวนิช ซึ่งเป็นอาจารย์ที่ปรึกษาโครงการ และดร. พงศ์พิชญ์ วิภาสุวรรณพัฒนา นักวิจัยที่เลี้ยงจากสูนย์เทคโนโลยีอิเล็กทรอนิกส์และคอมพิวเตอร์แห่งชาติ (NECTEC) ที่ได้ก่อขึ้นแนวทางตลอดการทำโครงการ นอกจากนี้ขอกราบขอบพระคุณห้องปฏิบัติการฝ่ายวิจัยและพัฒนาการควบคุมและระบบอัตโนมัติ ทางอุตสาหกรรม สูนย์เทคโนโลยีอิเล็กทรอนิกส์และคอมพิวเตอร์แห่งชาติ (NECTEC) และภาควิชา วิศวกรรมไฟฟ้าและคอมพิวเตอร์ ที่ให้ความอนุเคราะห์และอำนวยความสะดวกในเรื่องอุปกรณ์และเครื่องมืออัตโนมัติ อันเป็นประযุชน์ด้วยการดำเนินโครงการอย่างยิ่ง ตลอดจนคณาจารย์ทุกท่านที่ประสิทธิ์ประสาทวิชาความรู้ให้กับผู้เขียนโครงการ

และการท่องเที่ยว ให้ความช่วยเหลือและสนับสนุน ตลอดจนคณาจารย์ที่ให้คำแนะนำในการทำโครงการช่วงแรก

ขอบขอบคุณ คุณโภวิท โชวสุวรรณ ที่ช่วยให้แนวคิด และดำเนินการในการออกแบบวงจร อัตโนมัติ ที่ช่วยให้เราสามารถอ่านค่าความต้องการที่ตั้งไว้ในหน้าจอได้โดยตรง รวมทั้งค่าตัวต่อตัวที่ต้องการ ที่สำคัญที่สุดคือ คุณสามารถอ่านค่าตัวต่อตัวที่ตั้งไว้ในหน้าจอได้โดยตรง ไม่ต้องใช้เวลาคำนวณหรือคำนวณด้วยมือ ทำให้เราสามารถทำงานได้เร็วและแม่นยำมากขึ้น

ขอบขอบคุณ คุณมนนท์ พอกเอน คุณกฤตยา สมจิตชอบ และคุณพัชร์ภัทร มักย์พงษ์ดาวรท ที่ให้คำแนะนำในการทดสอบขั้นตอน

ขอบขอบคุณ คุณพลวัฒน์ ทองบัวบาน เพื่อนนิสิตชั้นปีที่ 4 สาขาวิศวกรรมไฟฟ้าที่แนะนำ สถานที่จัดซื้ออุปกรณ์ และให้ข้อมูลเพิ่มเติมในการประกอบวงจร

สุดท้ายนี้ ขอกราบขอบพระคุณบิความราชาของผู้เขียนอย่างหาที่ปรีชามิได้ที่ให้ความรัก ความหวังดี กำลังใจ และก่อสนับสนุนในทุกๆ ด้านตลอดมา

นายนพพล หมุ่นมาก

สารบัญ

หน้า

ใบรับรองปริญญาบัตร.....	ก
บทคัดย่อภาษาไทย.....	ข
บทคัดย่อภาษาอังกฤษ.....	ค
กิตติกรรมประกาศ.....	ง
สารบัญ.....	จ
สารบัญตาราง.....	ฉ
สารบัญรูป.....	鬯
บทที่ 1 บทนำ.....	1
1.1 ความเป็นมาและความสำคัญของโครงการ.....	1
1.2 วัตถุประสงค์ของโครงการ.....	2
1.3 แนวทางการดำเนินโครงการ.....	2
1.4 ขอบเขตของโครงการ.....	2
1.5 ประโยชน์ที่คาดว่าจะได้รับ.....	3
1.6 แผนการดำเนินงาน.....	3
1.7 งบประมาณ.....	4
บทที่ 2 ทฤษฎีและหลักการที่เกี่ยวข้อง.....	5
2.1 หลักการทำงานของคอนเวอร์เตอร์.....	5
2.1.1 คุณลักษณะของคอนเวอร์เตอร์แบบฟลัตเทนเบก.....	7
2.1.2 การทำงานของคอนเวอร์เตอร์แบบฟลัตเทนเบก.....	7
2.1.3 ลักษณะกระแสและแรงดันภายในวงจร.....	9
2.1.4 การทำงานในโหมดกระแสต่อเนื่องและโหมดกระแสไม่ต่อเนื่อง.....	10
2.1.5 การออกแบบคอนเวอร์เตอร์แบบฟลัตเทนเบกที่โหมดกระแสไม่ต่อเนื่อง.....	11
2.1.6 ช่วงเวลาในการกระแสสูงสุด.....	11
2.1.7 กำหนดค่าความหนาแน่นของขอลวดปูนภูมิ.....	12
2.1.8 จำนวนรอบของขอลวดปูนภูมิและจำนวนรอบของขอลวดทุติยภูมิ.....	13
2.1.9 ตัวเก็บประจุอาثارพุด.....	14

สารบัญ (ต่อ)

หน้า

2.1.10 หน้าแปลงสวิตชิ่ง.....	15
2.1.11 ข้อคิดและข้อเสียงของกองเวอร์เตอร์เบนฟลายแบนค.....	18
2.2 แบบเดอร์.....	18
2.2.1 ประเภทของแบบเดอร์ที่จะก่อกรดแบบแห้ง.....	19
2.2.2 การอัดประจุแบบเดอร์ที่จะก่อกรดแบบปีกผนึก.....	20
2.3 รถไถบริคและรถไฟฟ้า.....	20
 บทที่ 3 การสร้างงานการทำงาน.....	23
3.1 การสร้างงานกองเวอร์เตอร์เบนฟลายแบนค.....	23
3.1.1 ขั้นตอนการสร้างกองเวอร์เตอร์เบนฟลายแบนค.....	23
3.1.2 การเลือกใช้อุปกรณ์ของกองเวอร์เตอร์เบนฟลายแบนค.....	24
 บทที่ 4 ผลการทดสอบ.....	35
4.1 การทดสอบว่างรอคประจุเบตเดอร์ข้อมะไม่มีโอลด.....	35
4.2 การทดสอบว่างรอคประจุเบตเดอร์กับໄอลดอธิลีกซ์ทรอนิกส์.....	38
4.3 การทดสอบว่างรอคประจุเบตเดอร์กับแบบเดอร์.....	43
4.4 การทดสอบประสิทธิภาพของวงจรอัดประจุเบตเดอร์.....	46
 บทที่ 5 สรุปผลการทดสอบและข้อเสนอแนะ.....	50
5.1 สรุปผลการทดสอบ.....	50
5.2 ปัญหาและแนวทางแก้ไข.....	51
5.3 แนวทางในการพัฒนาต่อไป.....	52
5.3.1 การนำใบโปรดักต์โกรลแลร์มาใช้แทนไอซี.....	52
5.3.2 อุปกรณ์เสริม.....	53
 เอกสารอ้างอิง 1.....	54
เอกสารอ้างอิง 2.....	55

สารบัญ (ต่อ)

หน้า

ภาคผนวก ก รายละเอียดของ ไอซี UC3844.....	56
ภาคผนวก ข รายละเอียดของมอสเฟต FQP7N80.....	61
ประวัติผู้เขียน โครงงาน.....	64



สารบัญตาราง

ตารางที่	หน้า
4.1 ค่าแรงดันด้านเอาท์พุตของไม้ไอลด์.....	36
4.2 ค่าแรงดันและกระแสด้านเอาท์พุตที่โอลด์ระดับต่างๆ.....	39
4.3 กำลังแรงดันและกระแสด้านเอาท์พุตที่เวลาต่างๆ.....	44
4.4 ประสิทธิภาพของวงจรอัดประจุแบบเทอร์รี่.....	46
4.5 กระแสอินพุตและกระแสเอาท์พุตของวงจรที่ความดันทานต่างๆ.....	48



สารบัญรูป

รูปที่	หน้า
2.1 บล็อกไซด์แกรนของแหล่งจ่ายไฟฟ้ากระแสตรงแบบสวิตชิ่ง.....	6
2.2 วงจรพื้นฐานของคอนเวอร์เตอร์แบบฟลายแบนค.....	8
2.3 กราฟลักษณะกระแสและแรงดันในวงจร.....	10
2.4 ตัวอย่างลักษณะของสัมโน้ติอิสเทอร์เรชิส.....	17
2.5 กราฟค่าการสูญเสียในแกนเฟอร์ไวต์.....	18
2.6 แบบเดอร์ตะกั่วกรดแบบแท้.....	19
2.7 ตัวอย่างหลักการทำงานของรถไอบิล.....	21
2.8 ตัวอย่างหลักการทำงานของรถไฟฟ้า.....	22
3.1 ลักษณะของไฟฟ้าและขาต่ำๆ.....	25
3.2 ลักษณะไอซีและขาต่ำๆ ของ UC3844.....	25
3.3 วงจรภายในของไอซี UC3844.....	26
3.4 ลักษณะไอซีและขาต่ำๆ ของ TL431.....	26
3.5 วงจรภายในและสัญลักษณ์ของ TL431.....	27
3.6 ลักษณะไอซีและวงจรภายในของ FOD817.....	27
3.7 ลักษณะไอซีและวงจรภายในของ LM358.....	28
3.8 ลักษณะไอซีและขาต่ำๆ ของ 7815.....	28
3.9 การต่อวงจรเพื่อเรกเกลทแรงดัน.....	29
3.10 วงจรอัคปะจุเบตเดอร์ส่วนอินพุต.....	30
3.11 วงจรอัคปะจุเบตเดอร์ส่วนเอาท์พุต.....	31
3.12 วงรดันแบบที่ใช้ในการทดลอง.....	32
3.13 วงจรตัวเรียงกระแสส่วนอินพุต.....	32
3.14 วงจรในส่วนของคอนเวอร์เตอร์.....	33
3.15 วงจรในส่วนของวงจรควบคุม.....	33
3.16 ลักษณะที่ออกแบบโดยโปรแกรม ProteI99SE.....	33
3.17 วงจรที่เสริมสมบูรณ์.....	34
4.1 การทดสอบวงจรขณะไม่มีโหลด.....	35
4.2 สัญญาณนาฬิกาและสัญญาณความคุณภาพของไอซี UC3844.....	36
4.3 แรงดันเอาท์พุตขณะไม่มีโหลด.....	37

สารบัญรูป (ต่อ)

รูปที่	หน้า
4.4 แรงดันที่ติดคร่อมขาเครนชอร์สของมอสเฟต (V_{ds}).....	37
4.5 การทดสอบกับโหลดอิเล็กทรอนิกส์.....	38
4.6 ภาพแสดงค่าของแรงดันด้านเอาท์พุตเทียบกับค่าความด้านท่าน.....	39
4.7 ภาพแสดงค่าของกระแสเทียบกับค่าความด้านท่าน.....	40
4.8 แรงดัน V_{ds} ของมอสเฟตและกระแสเอาท์พุต ที่ความด้านท่าน 100 โอม.....	40
4.9 แรงดัน V_{ds} ของมอสเฟตและกระแสเอาท์พุต ที่ความด้านท่าน 80 โอม.....	41
4.10 แรงดัน V_{ds} ของมอสเฟตและกระแสเอาท์พุต ที่ความด้านท่าน 60 โอม.....	41
4.11 แรงดัน V_{ds} ของมอสเฟตและกระแสเอาท์พุต ที่ความด้านท่าน 40 โอม.....	41
4.12 แรงดัน V_{ds} ของมอสเฟตและกระแสเอาท์พุต ที่ความด้านท่าน 30 โอม.....	42
4.13 แรงดัน V_{ds} ของมอสเฟตและกระแสเอาท์พุต ที่ความด้านท่าน 25 โอม.....	42
4.14 การทดสอบกับแบตเตอรี่.....	43
4.15 ภาพแสดงค่าของกระแสด้านเอาท์พุตเทียบกับเวลา.....	45
4.16 ภาพแสดงค่าของแรงดันด้านเอาท์พุตเทียบกับเวลา.....	45
4.17 ภาพแสดงค่าระหว่างกำลังไฟฟ้าและความด้านท่าน.....	47
4.18 ภาพแสดงค่าระหว่างกำลังไฟฟ้าเอาท์พุตและกำลังไฟฟ้าอินพุต.....	49
5.1 วงจรโซลิก.....	51
5.2 ตัวอย่างของไก่โทรศัพท์คอนโทรลเลอร์.....	52
5.3 ตัวอย่างอุปกรณ์แสดงผล.....	53

บทที่ 1

บทนำ

1.1 ความเป็นมาและความสำคัญของโครงงาน

สืบเนื่องจากภาวะโลกร้อน (Global Warming) ซึ่งส่วนมากเกิดจากการสร้างมลภาวะโดยมนุษย์ และการตระหนักถึงการบริโภคน้ำมันเชื้อเพลิงที่เกิดจากฟอสซิลที่ทับถมกันนานนับส้านๆ ปีที่กำลังจะหมดลงในเวลาอีกไม่ถึงสิบปีนับจากนี้ ทำให้ทั่วโลกเริ่มตระหนักร่องรอยที่จะเกิดขึ้น ในอนาคต และหันมาใช้พลังงานทดแทนกันมากขึ้น โดยเฉพาะอย่างยิ่งในวงการยานยนต์ เมื่อเร็วๆ นี้ รถยนต์ไฮบริด (Hybrid Vehicle) ซึ่งได้พลังงานจากน้ำมันเชื้อเพลิงและพลังงานไฟฟ้าจากแบตเตอรี่ เริ่มนิยมกันมากขึ้นบนท้องถนน และต่อมา yan yon ที่ใช้พลังงานไฟฟ้าอย่างเดียว (Electric Vehicle) ก็เริ่มออกสู่ท้องตลาด ทำให้ผู้ใช้รถพึงพอใจว่า บทบาทของพลังงานไฟฟ้าในวงการยานยนต์จะมีแนวโน้มที่เพิ่มสูงขึ้นเรื่อยๆ นับจากนี้

เมื่อกล่าวถึงยานยนต์ไฟฟ้า ยานยนต์ขนาดเล็ก เช่น จักรยานไฟฟ้าและスクูตเตอร์ไฟฟ้าจะได้รับการยอมรับจากผู้ใช้มากกว่ายานยนต์ขนาดใหญ่ เนื่องจากมีขนาดเล็ก น้ำหนักเบา และราคาถูก เมื่อว่าความเร็วที่ใช้งานของยานยนต์ขนาดเล็กจะต่ำกว่ายานยนต์ขนาดใหญ่อยู่มาก แต่ความคล่องตัว บนท้องถนน โดยเฉพาะในสภาพการจราจรติดขัดที่มีอยู่จริงในหลายประเทศรวมถึงประเทศไทย เอง ทำให้ยานยนต์ไฟฟ้าขนาดเล็กดังกล่าวกว่าจะได้ความนิยมเพิ่มขึ้น อย่างไรก็ต้องเสียของยานยนต์เหล่านี้คือ การมีระยะเวลาการเดินทางที่สั้น เหตุผลสำคัญคือการใช้แบตเตอรี่จำนวนน้อย เนื่องจากข้อจำกัดของพื้นที่ที่ใช้และน้ำหนักของแบตเตอรี่ เพื่อให้ได้ระยะเวลาการเดินทางมากขึ้น วิธีที่ง่ายวิธีหนึ่งคือ การเลือกใช้ชนิดแบตเตอรี่ที่มีความจุพลังงานสูง (High Density Battery) แต่แบตเตอรี่พวกนี้ โดยทั่วไปมีราคาแพงมาก ทำให้ราคารถยานยนต์เพิ่มอย่างมาก

อีกหนทางหนึ่งที่สามารถลดปัญหานี้ได้คือ การใช้ตัวอัดประจุแบตเตอรี่แบบพกพา (Portable Battery Charger) โดยใช้ทำการอัดประจุแบตเตอรี่ ในการเดินทางที่เหลือในแบตเตอรี่ หมดหรือเหลืออยู่ไม่นาน วิธีนี้ทำให้การเลือกใช้แบตเตอรี่ชนิดความจุด้านและราคาถูกเป็นไปได้ โดยเฉพาะในกรณีที่มีระยะเวลาการเดินทางที่ค่อนข้างแน่นอน เช่น การเดินทางไประหว่างที่ทำงานกับที่พัก

1.2 วัตถุประสงค์ของโครงการ

- 1) เพื่อส่งเสริมและกระตุ้นให้นิสิต ได้เรียนรู้การแปลงพลังงานและเทคนิคด้านๆ เกี่ยวกับ การแปลงผันพลังงาน (Power Conversion System)
- 2) เพื่อศึกษาการทำงานของจรวดอัตโนมัติแบบพกพา และการออกแบบวงจรเพื่อให้ เกิดประสิทธิภาพสูงสุด

1.3 แนวทางการดำเนินโครงการ

- 1) ศึกษาการทำงานของคอนเวอร์เตอร์กำลังชนิดแยกอิสระทางไฟฟ้าแบบต่างๆ เพื่อใช้ เป็นข้อมูลขั้นต้น
- 2) เลือกคอนเวอร์เตอร์ที่เหมาะสมและศึกษาวิธีการควบคุมคอนเวอร์เตอร์ ให้มี ผลตอบสนองที่รวดเร็ว (Fast) และมีความทนทาน (Robust) นั่นคือต้องมีวิธีการที่ สามารถจำกัด กระแสออก และระดับแรงดันให้อยู่ในระดับที่ปลอดภัยต่อแบตเตอรี่ และผู้ใช้งาน
- 3) การออกแบบวงจร ตามที่ได้ศึกษาและหาข้อมูลตามทฤษฎีด้านๆ และประกอบวงจร ขั้นต้นบนปอร์โตบอร์ด (Proto Board) ทดสอบวงจรการทำงานขั้นต้นและการ ปรับแต่ง เพื่อให้วงจรทำงานได้ตามคุณลักษณะที่ต้องการ
- 4) ออกแบบ PCB หลังจากนั้นและทำการประกอบวงจร ทดสอบขั้นสุดท้าย
- 5) ทำการทดลองและเก็บผลการทดลอง แล้วทำการเขียนปริญญาบัตร

1.4 ขอบเขตของโครงการ

- 1) สร้างด้วยอัตโนมัติที่มีพิกัดกำลังไม่ต่ำกว่า 60 วัตต์ 42 โวลต์
- 2) ด้วยอัตโนมัติที่ต้องให้แรงดันไฟออกแยกอิสระทางไฟฟ้า (Isolated) จากแรงดันฟื้นไฟ เข้า เพื่อความปลอดภัยของผู้ใช้
- 3) ลักษณะการอัตโนมัติเป็นแบบ UI (UI Characteristic) ก้าวที่อิสระทางไฟฟ้าที่ต้องการ ค่ากระแสคงที่เมื่อแรงดันที่แบตเตอรี่นิ่นค่าต่ำกว่าค่าแรงดันที่ต้องการ และเมื่อแรงดันที่ แบตเตอรี่เข้าสู่ระดับที่ต้องการก็ทำการรักษาแรงดันไว้ ซึ่งโดยทั่วไปค่ากระแส จะเริ่มลดลงจนใกล้ค่าศูนย์ในที่สุด

1.5 ประโยชน์ที่คาดว่าจะได้รับ

- 1) เข้าใจการทำงานของอุปกรณ์อิเล็กทรอนิกส์ภายในวงจร
 - 2) เข้าใจหลักการทำงานของวงจรเครื่องอัตโนมัติแบบพกพา
 - 3) สามารถออกแบบเครื่องอัตโนมัติแบบพกพาที่มีคุณลักษณะตามต้องการได้
 - 4) สามารถนำความรู้ที่ได้ประยุกต์ใช้กับการออกแบบวงจรอื่นๆ ได้

1.6 แผนการดำเนินงาน

1.7 จบประมาณ

ค่าวัสดุอุปกรณ์อิเล็กทรอนิกส์ต่างๆ	1,500	บาท
ค่าจัดทำรายงาน	500	บาท
รวมทั้งสิ้น	2,000	บาท
หมายเหตุ ถ้าเคลื่บทุกรายการ		



บทที่ 2

ทฤษฎีและหลักการที่เกี่ยวข้อง

ส่วนประกอบหลักของตัวอัคปะจุแบตเตอรี่แบบพกพาสำหรับยานยนต์น้ำมันเล็กที่สุดในในโครงงานนี้คือ คอนเวอร์เตอร์ (Converter) และแบตเตอรี่ (Battery) ในบทนี้จะได้อธิบายทฤษฎีและหลักการทำงานพื้นฐานของอุปกรณ์หลักดังกล่าว

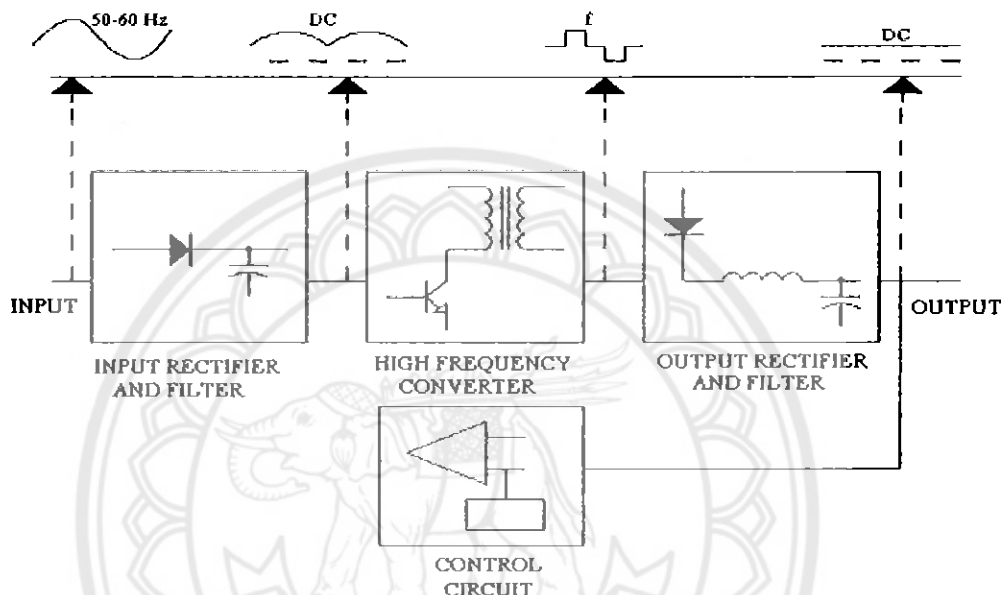
2.1 หลักการทำงานของคอนเวอร์เตอร์

คอนเวอร์เตอร์ นับว่าเป็นส่วนสำคัญที่สุดในสวิตซ์เพาเวอร์ซัพพลายหรือแหล่งจ่ายไฟฟ้ากระแสตรงแบบสวิตซ์ นิหน้าที่ลอกตอนแรงดันไฟตรงค่าสูงลงมาเป็นแรงดันไฟตรงค่าต่ำ และสามารถรักษาระดับแรงดันได้ คอนเวอร์เตอร์มีหลักการทำงานที่สำคัญคือการจัดวงจรภายใน โดย คอนเวอร์เตอร์เดลล์แบบจะมีข้อดีข้อเสียที่แตกต่างกันออกไป การจะเลือกใช้คอนเวอร์เตอร์แบบใด สำหรับสวิตซ์เพาเวอร์ซัพพลายนั้นมีข้อควรพิจารณาจากลักษณะพื้นฐานของคอนเวอร์เตอร์เดลล์แบบดังนี้คือ

- ลักษณะการแยกกันทางไฟฟ้าระหว่างอินพุตกับเอาท์พุตของคอนเวอร์เตอร์
- ค่าแรงดันอินพุตที่จะนำมาใช้กับคอนเวอร์เตอร์
- ค่ากระแสสูงสุดที่ให้ผลผ่านกรานชิสเตอร์กำลังในคอนเวอร์เตอร์ขณะทำงาน
- ค่าแรงดันสูงสุดที่ต้องรับมารานชิสเตอร์กำลังในคอนเวอร์เตอร์ขณะทำงาน
- การรักษาแรงดันแรงดันในกรณีที่คอนเวอร์เตอร์นี้เอาท์พุตหลากค่าแรงดัน
- การดำเนินด้วยภัยรุนแรง RF/EMI ของคอนเวอร์เตอร์

โครงสร้างโดยรวมของแหล่งจ่ายไฟฟ้ากระแสตรงแบบสวิตชิ่ง ประกอบด้วย 4 ส่วน คือ

- 1) Input Rectifier and Filter
- 2) High Frequency Converter
- 3) Output Rectifier and Filter
- 4) Control Circuit



รูปที่ 2.1 บล็อกไซอะแกรนของแหล่งจ่ายไฟฟ้ากระแสตรงแบบสวิตชิ่ง [2.1]

การออกแบบแหล่งจ่ายไฟฟ้ากระแสตรงแบบสวิตชิ่งนั้นจะมีค่อนเวลาอันดับต่อไปนี้ให้เลือกใช้
หลายแบบ ทำให้การออกแบบสามารถเลือกค่อนเวลาอันดับที่เหมาะสมตามความต้องการ

ปัจจุบันค่อนเวลาอันดับที่นิยมใช้เป็นหลักในงานอุตสาหกรรมอิเล็กทรอนิกส์ มีด้วยกัน 5
ชนิด คือ

- 1) ค่อนเวลาอันดับแบบฟลายแบค (Flyback Converter)
- 2) ค่อนเวลาอันดับแบบฟอร์เวิร์ด (Forward Converter)
- 3) ค่อนเวลาอันดับแบบพุช - พูล (Push Pull Converter)
- 4) ค่อนเวลาอันดับแบบฮาล์ฟ - บริดจ์ (Half Bridge Converter)
- 5) ค่อนเวลาอันดับแบบฟูล - บริดจ์ (Full Bridge Converter)

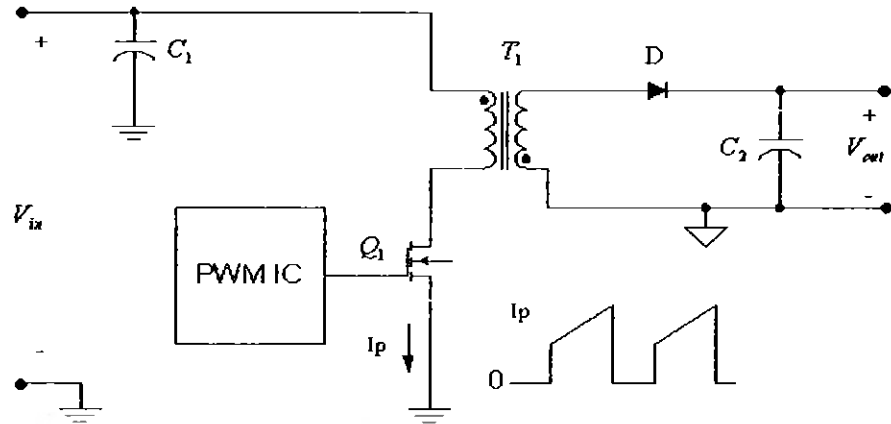
ค่อนเวอร์เตอร์ที่เลือกใช้ในการสร้างตัวอัคประจุแบตเตอรี่แบบพกพาคือ ค่อนเวอร์เตอร์แบบฟลายแบค

2.1.1 คุณลักษณะของค่อนเวอร์เตอร์แบบฟลายแบค

ค่อนเวอร์เตอร์แบบฟลายแบค ทำหน้าที่ลดตอนระดับแรงดันที่รับเข้ามาทางด้านอินพุต และจ่ายแรงดันที่ถูกลดตอนออกมาทางด้านเอาท์พุต ส่วนประกอบที่สำคัญของค่อนเวอร์เตอร์แบบฟลายแบค คือ หน้อแปลงสวิตชิ่งซึ่งมีลักษณะที่กลับเฟสกันของขัวแรงดันทางด้านอินพุตและเอาท์พุต หน้อแปลงสวิตชิ่งในค่อนเวอร์เตอร์แบบฟลายแบค จะไม่เหมือนกับหน้อแปลงทั่วไปตรงที่ หน้อแปลงทั่วไปจะทำงานในลักษณะของการส่งผ่านพลังงาน แต่หน้อแปลงสวิตชิ่งในค่อนเวอร์เตอร์แบบฟลายแบค จะทำหน้าที่เก็บสะสมพลังงานสลับกับการจ่ายพลังงาน ค่อนเวอร์เตอร์แบบฟลายแบค จะทำงานใน 2 ช่วง คือ ช่วงการเก็บสะสมพลังงาน และช่วงการจ่ายพลังงาน การทำงานแต่ละช่วงเป็นอยู่กับสัญญาณพัลส์ที่ได้รับจากวงจรควบคุม

2.1.2 การทำงานของค่อนเวอร์เตอร์แบบฟลายแบค

จากรูปวงจร ทราบชิสเตอร์กำลัง Q_1 จะทำหน้าที่เป็นสวิตช์คือ ON/OFF การทำงานของค่อนเวอร์เตอร์แบบฟลายแบค โดยรับสัญญาณควบคุมเป็นพัลส์สี่เหลี่ยมจากวงจรควบคุมอีกที่ เมื่อ Q_1 นำกระแส ໄคโอด D จะอยู่ในลักษณะถูกใบแอกลับ (Reverse Bias) เมื่อจากหน้อแปลงนี้ การกลับขัวแรงดันกันอยู่ จะทำให้มีกระแส I_p ไหลผ่านขดลวดปฐมนิรมิทำให้เกิดการสะสมพลังงานที่ขดลวดปฐมนิรมิ และเมื่อ Q_1 หยุดนำกระแส สนามแม่เหล็กที่หน้อแปลงจะเกิดการบุบตัว ทำให้เกิดการกลับขัวแรงดันที่ขดลวดปฐมนิรมิและขดลวดทุติยนิรนิ ทำให้ໄคโอด D อยู่ในลักษณะใบแอกลับ (Forward Bias) พลังงานที่สะสมในขดลวดปฐมนิรนิของหน้อแปลงก็จะถูกด่าเพาไปยังขดลวดทุติยนิรนิ และมีกระแสไหลผ่านໄคโอด D ไปยังตัวเก็บประจุ C_2 และโหลด ค่าของแรงดันที่เอาท์พุตของค่อนเวอร์เตอร์ จะเป็นอยู่กับความถี่การทำงานและช่วงเวลาการนำกระแสของ Q_1



รูปที่ 2.2 วงจรพื้นฐานของคอนเวอร์เตอร์แบบฟลัตย์แบนก [2.2]

เมื่อว่างทำงานอยู่ในสภาวะคงที่ สามารถหาค่าแรงดันเอาท์พุตได้ดังนี้

$$V_{out} = \frac{\left[I_{on} \times \left(\frac{N_s}{N_p} \right) \times (V_{in} - V_{ce(sat)}) \right]}{(T - t_{on})} - V_D \quad (2.1)$$

T คานเวลาการทำงานของทรานซิสเตอร์กำลัง (วินาที)

t_{on} ช่วงเวลาของสัญญาณพัลส์ในช่วงสถานะ ON (วินาที)

N_p จำนวนรอบของคลาดปrynกุนิ (รอบ)

N_s จำนวนรอบของคลาดทุคิกุนิ (รอบ)

V_{out} แรงดันที่เอาท์พุตของคอนเวอร์เตอร์ (โวลต์)

V_{in} แรงดันที่อินพุตของคอนเวอร์เตอร์ (โวลต์)

$V_{ce(sat)}$ แรงดันที่ตอกคร่อมทรานซิสเตอร์กำลังขณะนำกระแสอิมตัว (โวลต์)

V_D แรงดันที่ตอกคร่อมໄด โอดขณะนำกระแส (โวลต์)

จะเห็นได้ว่า วงจรสามารถคำนวณให้ลงที่ค่าของการเพิ่มหรือลดช่วงเวลานำกระแส t_{on} ของทรานซิสเตอร์กำลัง Q_1 เท่านั้น ไม่ว่าจะมีการเปลี่ยนแปลงของแรงดันอินพุตหรือแรงดันเอาท์พุต (โหลดมีการเปลี่ยนแปลง) ก็ตาม

2.1.3 ลักษณะกระแสและแรงดันภายในวงจร

กระแสที่ไหลผ่าน Q_1 และขดลวดปฐมภูมิ ขณะที่ Q_1 นำกระแสนั้น จะเป็นลักษณะของกระแสที่ไหลผ่านตัวหนีบหัวนำ ซึ่งจะเป็นไปตามสมการ

$$\frac{di}{dt} = \frac{V}{L} \quad (2.2)$$

ดังนั้น กระแส I_p จะมีค่าเพิ่มขึ้นตามเวลาและมีค่าสูงสุดเมื่อ Q_1 เริ่มหุดนำกระแสที่เวลา $t = t_{on}$ ดังนั้นกระแสสูงสุดจะมีค่าเท่ากับ

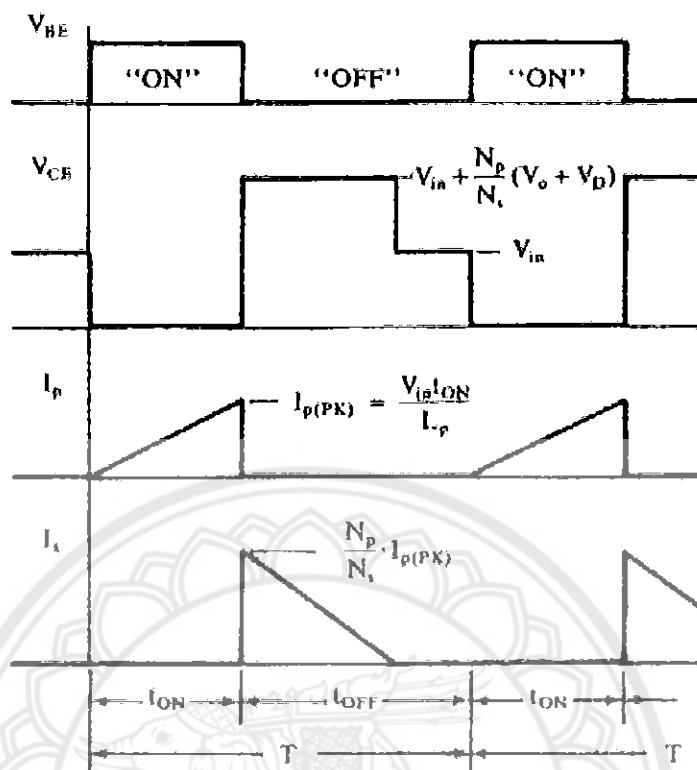
$$I_{p(PK)} = \frac{(V_{in} - V_{ce(sat)})}{L_p} \times t_{on} \quad (2.3)$$

โดยที่ $I_{p(PK)}$ ค่ากระแสสูงสุดที่ผ่านขดลวดปฐมภูมิ (แอนปี) L_p ค่าความหนาแน่นของขดลวดปฐมภูมิ (เอนรี)

เมื่อ Q_1 เริ่มหุดนำกระแส ขดลวดทุกชิ้นจะเริ่มนีกระแสไหล แต่เนื่องจากกระแสที่ตัวหนีบหัวนำจะเปลี่ยนแปลงในทันทีทันใดไม่ได้ กระแสที่ขดลวดทุกชิ้น I_s จะต้องเริ่มต้นที่ค่าสูงสุดของกระแสที่ขดลวดปฐมภูมิ $I_{p(PK)}$ โดยมีค่าเป็นสัดส่วนตามอัตราส่วนจำนวนรอบ ดังนั้นกระแสที่ขดลวดทุกชิ้นจะมีค่าเริ่มต้นตามสมการ และมีค่าลดลงตามเวลา

$$I_s = \left(\frac{N_p}{N_s} \right) \times I_{p(PK)} \quad (2.4)$$

เมื่อมีกระแสไหลผ่านขดลวดทุกชิ้นในขณะที่ Q_1 หุดนำกระแส จะทำให้เกิดแรงดันตอกคร่องขดลวดปฐมภูมิตัวเดียว เมื่อจากแรงดันตอกคร่องของขดลวดทุกชิ้นมีค่าเท่ากับ $V_{out} + V_D$ ดังนั้นแรงดันที่ตอกคร่องของขดลวดปฐมภูมิจึงมีค่าเท่ากับ $\left(\frac{N_p}{N_s} \right) (V_{out} + V_D)$ ทำให้แรงดันตอกคร่อง Q_1 ขณะหุดนำกระแสมีค่าเป็น $V_{in} + \left(\frac{N_p}{N_s} \right) (V_{out} + V_D)$ จนกระทั่งกระแสที่ไหลในขดลวดทุกชิ้นภูมิมีค่าลดลงเป็นศูนย์ แรงดันที่ตอกคร่อง Q_1 จึงลดลงมา มีค่าเท่าแรงดันอินพุต V_m ในรูปที่ 2.3 จะแสดงลักษณะของกระแสและแรงดันที่เกิดขึ้นภายในวงจร เดอร์แวนฟลายเบ็คจะทำงาน



รูปที่ 2.3 กราฟลักษณะกระแสและแรงดันในวงจร [2.3]

2.1.4 การทำงานในโหมดกระแสต่อเนื่องและโหมดกระแสไม่ต่อเนื่อง

- โหมดกระแสไม่ต่อเนื่อง (Discontinuous Mode)

ก่อนเวอเรอร์แบบฟลัตแบบจะมีการทำงานในโหมดกระแสไม่ต่อเนื่อง เมื่อกรานซิสเดอร์กำลัง Q_1 หยุดนำกระแส พลังงานที่สะสมไว้ในขดลวดปฐมนิยมถูกด่ายเทออกไปยังขดลวดทุคิกูนijn หมุน ทำให้กระแสที่ไหลในขดลวดทุคิกูนijn มีค่าคล่องจนเป็นศูนย์ ก่อนที่ Q_1 จะเริ่มน้ำกระแสอีกครั้ง

- โหมดกระแสต่อเนื่อง (Continuous Mode)

ถ้าความเวลาที่ค้างคงที่ เมื่อเพิ่มช่วงเวลาการนำกระแส t_{on} ของกรานซิสเดอร์กำลัง Q_1 ให้มากขึ้น ช่วงเวลาหยุดนำกระแส t_{off} ก็จะมีค่าน้อยลง และกระแสสูงสุดที่ขดลวดปฐมนิยมจะมีค่าเพิ่มขึ้นตามเวลาไปด้วย แต่เมื่อจากช่วงเวลาหยุดนำกระแส t_{off} มีค่าน้อย กระแสที่ขดลวดทุคิกูนijn ไม่สามารถคล่องจนมีค่าเป็นศูนย์ได้ทันภายในช่วงเวลา t_{off} จึงบังคับให้พลังงานบางส่วนเหลือค้างอยู่ในขดลวดปฐมนิยม และเมื่อจะนำกระแสไม่สามารถเปลี่ยนแปลงทันทีทันใดได้ เมื่อ Q_1 เริ่มน้ำกระแสอีกครั้ง กระแสที่ขดลวดปฐมนิยมจึงต้องเริ่มค้างค้างของกระแสที่ขดลวดทุคิกูนijn ลดลงได้

ถูกดึงดูดตราส่วนจำนวนรอบ การทำงานในลักษณะนี้จึงเรียกว่า การทำงานในโหมดกระแสต่อเนื่อง

2.1.5 การออกแบบคอนเวอร์เตอร์แบบฟลายแบคที่โหมดกระแสไม่ต่อเนื่อง

กำหนดค่าอัตราส่วนจำนวนรอบ

การกำหนดอัตราส่วนจำนวนรอบของหน้อแปลงสวิตชิ้ง เป็นสิ่งที่ควรคำนึงถึงเป็นอันดับแรก เนื่องจากค่าอัตราส่วนจำนวนรอบจะมีผลต่อแรงดันตกต่ำลงสูงสุดของทรานซิสเตอร์กำลังขบเคี่ยนกระแสโดย

$$V_{ce(max)} = V_{in(max)} + \frac{N_p}{N_s} (V_{out} + V_D) \quad (2.5)$$

ดังนี้เพื่อเป็นการป้องกันการพังเสื้ทางของทรานซิสเตอร์กำลังที่จะนำมายังจังหวะนี้ จึงควรกำหนดอัตราส่วนจำนวนรอบดังนี้

$$\frac{N_p}{N_s} < \frac{V_{CEO} - (V_{in(max)} + V_{spike})}{(V_{out} + V_D)} \quad (2.6)$$

เมื่อ V_{CEO} คือค่าอัตราหานแรงดันไฟสูงสุดของทรานซิสเตอร์กำลังที่ใช้ และ V_{spike} คือค่าแรงดันกระชาตที่เกิดขึ้นขณะที่ทรานซิสเตอร์กำลังเริ่มหยุดนำกระแส แรงดันกระชาตที่เกิดขึ้นเนื่องจากฟลักช์ร์วไนล์ภายในหน้อแปลง ซึ่งทำให้เกิดค่าความเห็นใจนำไฟฟ้าที่คลาดปรุงภูมิ และมีการสะสมพลังงาน เช่นเดียวกับคลาดปรุงภูมิ แรงดันกระชาตที่เกิดขึ้นนี้จะมีค่าประมาณ $0.3V_{in}$ และเกิดขึ้นในช่วงเวลาสั้น ๆ จนกว่าพลังงานที่ถูกสะสมในตัวแทนใจนำไฟฟ้าจะถูกดึงหดไป

การกำหนดอัตราส่วนจำนวนรอบที่มีค่ามากหรือน้อยเกินไป จะมีผลต่องานดของหน้อแปลงและกระแสสูงสุดที่เกิดขึ้นในวงจร การพิจารณาค่าอัตราส่วนจำนวนรอบนี้ต้องพิจารณาผลของค่าอัตราส่วนจำนวนรอบที่มีต่อองค์ประกอบอื่นในวงจรอย่างหนาภายนี้ด้วย

2.1.6 ช่วงเวลานำกระแสสูงสุด ($t_{on(max)}$)

เพื่อให้แน่ใจว่างจรอโนเวอร์เตอร์แบบฟลายแบคที่ออกแบบ ทำงานในโหมดกระแสที่ไม่ต่อเนื่อง จำเป็นต้องกำหนดให้ช่วงเวลาหยุดนำกระแส t_{off} ให้มีค่ามากกว่า ญี่ปุ่นให้กระแสที่คลาดปรุงภูมิลดลงจนมีค่าเป็นศูนย์ก่อนที่ทรานซิสเตอร์กำลังจะเริ่มน้ำกระแสอีกครั้ง ดังนั้นจึง

การกำหนดค่าเวลาเพื่อ (Dead Time) t_D ทำให้เวลาของการลดลงของกระแสที่คลาดทุติยูนิจันเป็นศูนย์จะต้องใช้เวลาไม่นาน $t_{OFF} = T - (t_{ON} + t_D)$

ค่าของ t_D จะกำหนดให้เป็นเท่าใดก็ได้ โดยทั่วไปนักกำหนดไว้ที่ประมาณ 20 % ของค่าความเวลา T หรือเท่ากับ $0.2T$ ดังนี้

$$t_{ON(max)} + t_{OFF} = 0.8T \quad (2.7)$$

เมื่อจากกระแสที่คลาดปฐมภูมิต้องลดลงจนมีค่าเป็นศูนย์โดยใช้เวลามากที่สุดเท่ากับ t_{OFF} นั้นคือ

$$\begin{aligned} -(0 - I_{s(PK)}) &= \frac{(V_{out} + V_D)}{L_s} t_{OFF} \\ \left(\frac{N_p}{N_s} \right) I_{p(PK)} &= \frac{(V_{out} + V_D)}{L_s} t_{OFF} \end{aligned} \quad (2.8)$$

จากสมการที่ (2.3) แทนค่า $I_{p(PK)}$ ใน (2.8) จะได้ว่า

เมื่อ $\frac{N_p}{N_s} = \sqrt{\frac{L_p}{L_s}}$ และแทนค่า $t_{OFF} = 0.8T - t_{ON(max)}$

$$\frac{N_p}{N_s} \frac{(V_{in(min)} - V_{CE(sat)})}{L_p} t_{ON(max)} = \frac{(V_{out} + V_D) t_{OFF}}{L_s}$$

ดังนั้น $t_{ON(max)} = \frac{(V_{out} + V_D)(N_p/N_s)(0.8T)}{(V_{in(min)} - V_{CE(sat)}) + (V_{out} + V_D)(N_p/N_s)}$ (2.9)

2.1.7 กำหนดค่าความเห็นใจของคลาดปฐมภูมิ L_p

กองเรอร์เตอร์แบบฟลายแบคทำงานด้วยการเก็บสะสมพลังงานในช่วงเวลาที่ทราบชิสเตอร์กำลังนำกระแส และส่งผ่านพลังงานออกไปในขณะที่ทราบชิสเตอร์กำลังหยุดนำกระแสโดยในแต่ละช่วงเวลาที่ทราบชิสเตอร์กำลังนำกระแส พลังงานที่เก็บสะสมไว้ที่คลาดปฐมภูมิสามารถพิจารณาได้ดังนี้

$$E = \frac{1}{2} L_p I_{p(PK)}^2 \quad (2.10)$$

และในขณะที่ทราบชีสเกอร์กำลังหุบคันกระแสงคอนเวอร์เตอร์จะไม่มีการสะสมพลังงาน ดังนั้นกำลังงานที่ใช้ไปในหนึ่ง 시간 อาจมีค่าเท่ากับ

$$P_{in} = \frac{(1/2)L_p I_{p(PK)}^2}{T} \quad (2.11)$$

จาก (2.3) แทนค่าลงใน (2.11) และสามารถจัดรูปใหม่ได้ดังนี้

$$P_{in} = \frac{\left[(V_{in(min)} - V_{CE(sat)}) \right]_{ON(max)}^2}{2T L_p} \quad (2.12)$$

ด้านประสิทธิภาพการส่งผ่านพลังงานของวงจร มีค่าเท่ากับ η (ประมาณ 65 - 80 % สำหรับ แหล่งจ่ายไฟแบบสวิตซ์) กำลังงานที่คอนเวอร์เตอร์จะสามารถจ่ายให้กับโหลดได้จะมีค่า

$$P_{out} = \eta P_{in} = \eta \frac{\left[(V_{in(min)} - V_{CE(sat)}) \right]_{ON(max)}^2}{2TP_{out}} \quad (2.13)$$

ดังนั้นเพื่อให้ได้ค่าอนุเวย์เตอร์แบบฟลายแบคจ่ายกำลังงาน ได้เท่ากับกำลังงานที่ต้องการ ด้านเอาท์พุต P_{out} ค่าความหนาแน่นของคล漉คปฐมภูมิต้องมีค่าอย่างต่ำเท่ากับ

$$L_p = \eta \frac{\left[(V_{in(max)} - V_{CE(sat)}) \right]_{ON(max)}^2}{2TP_{out}} \quad (2.14)$$

2.1.8 จำนวนรอบของคล漉คปฐมภูมิ N_p และจำนวนรอบของคล漉คทุติยภูมิ N_s

การกำหนดจำนวนรอบของคล漉คปฐมภูมิ N_p จะขึ้นอยู่กับขนาดของแกนเฟอร์ไรร์ และความหนาแน่นฟลักซ์สูงสุดที่ยอมให้เกิดขึ้นได้ในแกน โดยจำนวนรอบ N_p จะมีค่าเท่ากับ

$$N_p = \frac{V_{in(min)} \times t_{ON(max)}}{\Delta B_{max} \times A_e} \times 10^8 \quad (2.15)$$

โดยที่ ΔB_{max} ค่าความหนาแน่นฟลักซ์สูงสุดที่ยอมให้เกิดขึ้น (เกาส์)

A_e พื้นที่หน้าตัดของแกนเฟอร์ไรต์ (ตารางเซนติเมตร)

สำหรับจำนวนรอบของคลาดทุติกูมิ N , หนึ่งสามารถหาได้จากค่าอัตราส่วนจำนวนรอบและจำนวนรอบของคลาดปฐมภูมิที่หาได้จากการ (2.15)

2.1.9 ตัวเก็บประจุเอาท์พุต C_o

ตัวเก็บประจุเอาท์พุต C_o จะทำหน้าที่จ่ายกระแสไฟฟ้าในโหลดในช่วงที่ทราบชีสเตอร์กำลังนำกระแสซึ่งจะไม่มีกระแสไฟหลักของคลาดทุติกูมิ เป็นการลดแรงดันกระแสเพื่อน (*Ripple*) ที่เอาท์พุต ดังนั้น C_o จึงต้องสามารถจ่ายกระแสไฟฟ้าให้กับค่ากระแสที่ต้องการในช่วงเวลา t_{ON} เพื่อรักษาระดับแรงดันเอาท์พุตไม่ให้เกิดการกระแสเพื่อนมากเกินไป ค่าของตัวเก็บประจุเอาท์พุต สามารถกำหนดได้ดังนี้

$$C_o = \frac{I_o t_{ON(max)}}{V_{ripple(max)}} \quad (2.16)$$

โดยที่ I_o

ค่ากระแสเกลี่ยสูงสุดที่เอาท์พุต (แอมป์)

$V_{ripple(max)}$

ค่าแรงดันกระแสเพื่อนสูงสุดที่ยอมให้เกิดได้ (โวลต์)

ค่าอีอสอาร์ของตัวเก็บประจุเอาท์พุต

ค่าอีอสอาร์ (Equivalent Series Resistance: ESR) คือค่าความต้านทานไฟฟ้าແ汾ที่อยู่ในตัวเก็บประจุ โดยเฉพาะอย่างยิ่งตัวเก็บประจุชนิดอิเล็กโทรไลต์จะมีค่าอีอสอาร์ค่อนข้างสูง ตัวเก็บประจุยิ่งมีค่าความจุสูงอีอสอาร์จะยิ่งค่าต่ำลง อย่างไรก็ตาม ค่าต่ำสุดของอีอสอาร์จะถูกจำกัดอยู่ที่ประมาณ 0.03 โอห์ม (ที่ 20 องศาเซลเซียส) เนื่องจากปัญหาความต้านทานที่รับค่าระหว่างแคนฟลอดบีดและขาของตัวเก็บประจุ

ถ้าตัวเก็บประจุเอาท์พุตที่ใช้มีค่าอีอสาร์สูงจะทำให้เกิดปัญหาแรงดันกระแสเพื่อนขึ้นที่แรงดันเอาท์พุต เนื่องจากขณะที่คลาดทุติกูมิเริ่มน้ำกระแสที่ขอบขึ้นของกระแสจะมีค่าสูง ค่าความต้านทานไฟฟ้าແ汾ในตัวเก็บประจุจะทำให้เกิดแรงดันคงคล่องตัวเก็บประจุในลักษณะที่เปลี่ยนแปลงอย่างรวดเร็วในช่วงสั้นๆ ของการอัดประจุของตัวเก็บประจุ และจะทำให้เกิดแรงดันกระแสเพื่อนขึ้นที่เอาท์พุต

การแก้ปัญหานี้อาจทำได้โดยการเพิ่งวงจรรองความถี่แบบแอลซี (LC Filter) ที่เอาท์พุต หรือเพิ่มค่าตัวเก็บประจุที่เอาท์พุตเพื่อลดค่าอีอสาร์หรือการต่อตัวเก็บประจุแบบขนานกันหลาบ ตัวก็สามารถเพิ่มค่าความจุ และทำให้ค่าอีอสาร์ลดลงได้เช่นเดียวกัน

2.1.10 หม้อแปลงสวิตชิ่ง

หม้อแปลงแบบสวิตชิ่ง (Switching Transformer) เป็นหม้อแปลงที่ใช้ในแหล่งจ่ายไฟแบบสวิตชิ่ง การออกแบบแหล่งจ่ายไฟแบบสวิตชิ่งคำนึงถึงความเหมาะสมในการใช้งาน การทำงานของนาดแกนเฟอร์ไรร์และขนาดคลาดทองแดง รวมทั้งการกำหนดความปลดปล่อยทางไฟฟ้าเพื่อความปลอดภัยและลดกำลังงานสูญเสียในหม้อแปลงสวิตชิ่งขณะทำงาน

ส่วนประกอบของหม้อแปลงสวิตชิ่ง

หม้อแปลงสวิตชิ่งมีหน้าที่หลักในการลดคลื่นแรงดันไฟครั้งที่อินพุตของคอนเวอร์เตอร์ และทำให้เกิดการแยกกันทางไฟฟ้าระหว่างแรงดันอินพุตและแรงดันเอาท์พุตที่ได้ เพื่อป้องกันอันตรายจากการถูกไฟฟ้าสูญที่อาจเกิดขึ้น

- **ขอบบิน (Bobbin)**

ขอบบินหรือแบบร่องพับ ปกติจะทำจากพลาสติกชนิดพานิชความร้อนสูงและไม่ติดไฟ มีหน้าที่ช่วยให้การพันขดลวดบนแกนเฟอร์ไรร์สะดวกขึ้น และป้องกันปัญหาการลัดวงจรระหว่างขดลวดกันแกนเฟอร์ไรร์ได้ ขอบบินจะมีขนาดมาตรฐานตามมาตรฐานของแกนเฟอร์ไรร์ ส่วนใหญ่จะออกแบบให้มีขาพักลวดทองแดง เพื่อความสะดวกในการพันขดลวดและการบัดกรีติดกันแม่น PCB

- **ลวดทองแดงอาน้ำยา (Enamelled Copper Wire)**

การพันขดลวดทั้งปูนภูมิและทุติยภูมิของหม้อแปลงสวิตชิ่งที่กำลังไม่สูงมากนัก ปกติจะใช้ลวดทองแดงอาน้ำยาพันบนแกนขอบบินเพื่อให้ได้จำนวนรอบตามต้องการ ขนาดของขดลวดทองแดงที่ใช้พันนั้น ขึ้นอยู่กับค่ากระแสสูงสุดที่ผ่านขดลวด ความถี่และผลข้างเคียงอื่นๆ

- **เทป绝缘 (Insulation Tape)**

เทป绝缘ใช้พันสำหรับเป็นตัวรองระหว่างชั้นของขดลวดในหม้อแปลงสวิตชิ่ง และมีหน้าที่สำคัญในการแยกกันทางไฟฟ้าระหว่างขดลวดปูนภูมิและขดลวดทุติยภูมิ วัสดุที่ใช้ทำเทป绝缘อาจทำจากไนลาร์หรือโพลีเอสเตอร์ ที่มีความหนาอยู่ในช่วง 0.05 - 0.1 มิลลิเมตร การเลือกใช้ขึ้นอยู่กับการออกแบบและค่าความปลดปล่อยที่ต้องการจากหม้อแปลงสวิตชิ่งเป็นหลัก

- **แกนเฟอร์ไรร์ (Ferrite Core)**

เฟอร์ไรร์เป็นวัสดุประเภทสารเฟอร์โรแมกнетิก การเหนี่ยวนำแม่เหล็กบนแกนเฟอร์ไรร์จะมีผลทำให้เกิดความหนาแน่นฟลัตช์แม่เหล็กสูงสุดกว่าการเหนี่ยวนำแม่เหล็กที่เกิดขึ้นบนแกนอะกามาก เฟอร์ไรร์มีค่าจุดอิมตัวฟลัตช์แม่เหล็กค่อนข้างสูง ประมาณในช่วง 3,000 - 4,000 เกาส์

และเกิดการสูญเสียในแกนเฟอร์ไรต์ค่าที่ความถี่สูง ๆ ดังนั้นหน้าแปลงสวิตชิ่งจึงนิยมใช้แกนเฟอร์ไรต์มากที่สุด เฟอร์ไรต์ที่นำมาทำแกนของหน้าแปลงสวิตชิ่งจะมีรูปร่างแตกต่างกันออกไปขึ้นอยู่กับการใช้งานและมาตรฐานในการออกแบบ

ลักษณะและขนาดมาตรฐานของแกนเฟอร์ไรต์

แกนเฟอร์ไรต์สำหรับหน้าแปลงสวิตชิ่ง โดยทั่วไป จะถูกผลิต成อกมาที่ขนาดและรูปร่างแตกต่างกันออกไปตามมาตรฐานเดียวกัน เช่น แกนแบบ EE, EI, ETD เป็นต้น โดยปกติแกนจะถูกผลิต成อกมาในลักษณะคู่ๆ ประกอบ เพื่อความสะดวกในการประกอบเข้ากันบนบันได การประกอบแกนเฟอร์ไรต์บนบันบันจะทำให้ทางเดินฟลักซ์แม่เหล็กที่เกิดขึ้นในแกนเฟอร์ไรต์นี้ลักษณะเป็นวงบรรจบได้

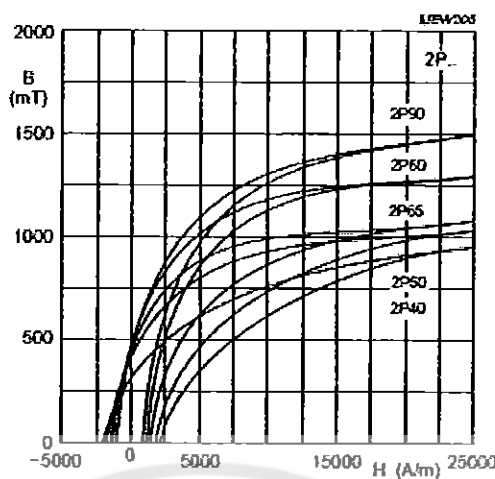
ลักษณะสมบัติของเนื้อสารที่ใช้ทำแกนเฟอร์ไรต์

ชนิดของเนื้อสารที่accoต่างกัน จะทำให้คุณสมบัติทางแม่เหล็กของแกนเฟอร์ไรต์accoต่างกันไปด้วยดึงแม่จะมีขนาดเท่ากัน ในแต่ละข้อมูลเนื้อสารที่ให้มา กับแกนเฟอร์ไรต์นั้น จะต้องมีรายละเอียดคุณสมบัติเนื้อสารแสดงไว้เสมอ ข้อมูลที่สำคัญคือ เส้นโค้งไฮสเตอร์เรซิส (Hysteresis Curve) และค่าการสูญเสียในแกนเฟอร์ไรต์ (Core Loss)

เส้นโค้งไฮสเตอร์เรซิส (Hysteresis Curve)

เส้นโค้งไฮสเตอร์เรซิสจะแสดงความสัมพันธ์ระหว่าง ค่าความหนาแน่นฟลักซ์แม่เหล็ก (B) ที่เกิดขึ้นในแกนเฟอร์ไรต์ กับความเข้มของสนามแม่เหล็ก (H) ที่เกิดจากการเหนี่ยวนำของคลัวดที่พันบนแกน

รูปที่ 2.4 แสดงการเปลี่ยนแปลงค่าความหนาแน่นฟลักซ์แม่เหล็ก (B) ต่อความเข้มของสนามแม่เหล็ก (H) กล่าวคือเมื่อความเข้มของสนามแม่เหล็ก (H) มีค่าเพิ่มขึ้น ค่าความหนาแน่นฟลักซ์แม่เหล็กก็จะมีค่าเพิ่มขึ้น จนกระทั่งจุดอิ่มตัว (Saturated Point)



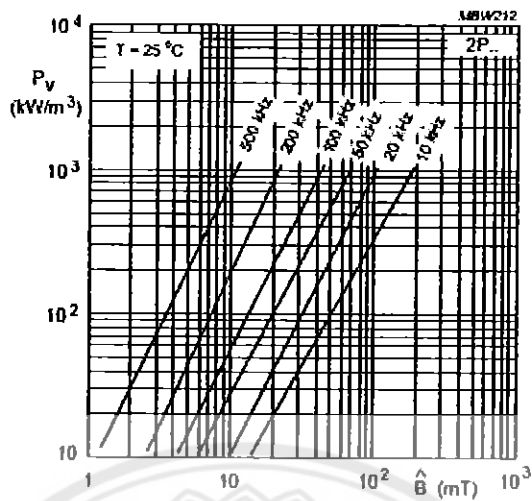
รูปที่ 2.4 ตัวอย่างลักษณะของเส้นโค้ง磁สเตอร์เรซิส [2.4]

โดยปกติผู้ผลิตจะแสดงกราฟของเส้นโค้ง磁สเตอร์เรซิสเพียงครั้งเดียว เมื่อออกจากอีกครั้งหนึ่งของเส้นโค้ง磁สเตอร์เรซิสจะมีลักษณะเหมือนกันทุกประการเพียงแต่จะมีลักษณะกลับหักกันเท่านั้น การใช้งานแกนเฟอร์ไรต์ในหม้อแปลงสวิตชิ่งค้องระวังไม่ทำให้แกนเฟอร์ไรต์เกิดการอิ่มตัวขึ้นได้ ดังนั้นโดยทั่วไปในการออกแบบหม้อแปลงแบบสวิตชิ่ง จึงควรกำหนดค่าความหนาแน่นฟลักซ์แม่เหล็ก (B) ที่ยอมให้เกิดขึ้นได้ในแกนขณะทำงาน นิ่มๆ ไม่เกินครั้งหนึ่งของค่าความหนาแน่นฟลักซ์แม่เหล็กสูงสุดก่อนอื่นด้วยของแกนเฟอร์ไรต์ เพื่อความปลอดภัย

ค่าการสูญเสียในแกนเฟอร์ไรต์

การสูญเสียที่เกิดขึ้นในแกนเฟอร์ไรต์จะทำให้แกนเฟอร์ไรต์ร้อน โดยมีสาเหตุหลัก 2 ประการคือ การสูญเสียที่เกิดจากการกลับตัวของสนามแม่เหล็ก (Hysteresis Loss) และการสูญเสียจากการเกิดกระแสไฟวนภายในแกน (Eddy Current Loss)

ขณะที่ความถี่ต่ำกว่า 100 กิโล赫ertz การสูญเสียจากการเกิดกระแสไฟวนในแกนจะมีค่าน้อยสำหรับแกนที่มีขนาดไม่ใหญ่มากนัก ดังนั้นการสูญเสียที่ก่อให้เกิดความร้อนในแกนอาจพิจารณาได้จากการสูญเสียทาง磁สเตอร์เรซิสเพียงอย่างเดียว ตัวอย่างกราฟแสดงค่าการสูญเสียที่เกิดขึ้นในแกนเฟอร์ไรต์แสดงไว้ในรูปที่ 2.5 ปกติค่ากำลังสูญเสียจะถูกระบุไว้เป็นกิโลวัตต์ต่อหนึ่งชั่วโมงของแกนเฟอร์ไรต์ และนิ่มๆ ขึ้นกับความหนาแน่นฟลักซ์แม่เหล็ก ความถี่การใช้งาน รวมถึงอุณหภูมิของแกน



รูปที่ 2.5 กราฟค่าการสูญเสียในแกนเฟอร์ไรต์ [2.5]

2.1.11 ข้อดีและข้อเสียของคอนเวอร์เตอร์แบบฟลัตแบค

ข้อดี

- ใช้อุปกรณ์อิเล็กทรอนิกส์น้อย
- ง่ายต่อการศึกษาการทำงานของคอนเวอร์เตอร์
- ประหยัดค่าใช้จ่ายในการประกอบวงจร
- ใช้งานได้ดีที่ความต้องการกำลังไฟฟ้าค่อนข้างต่ำ

ข้อเสีย

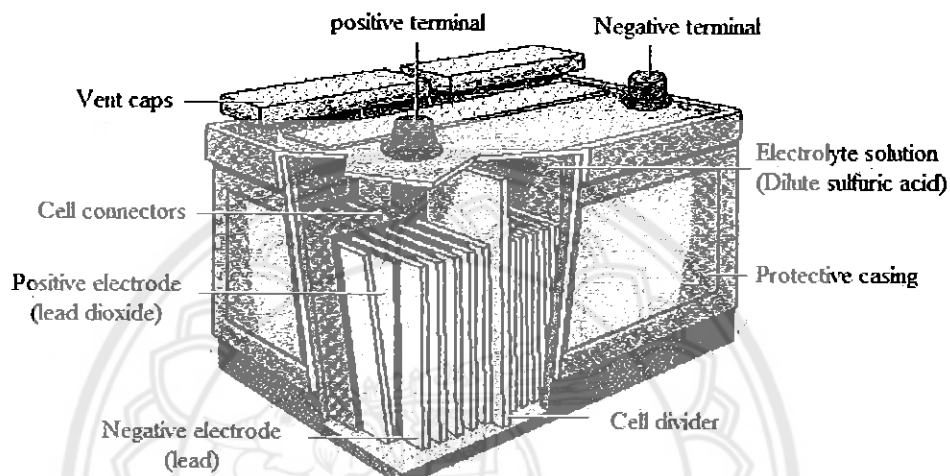
- เป็นคอนเวอร์เตอร์ที่ให้กำลังงานได้ไม่สูงมากนัก ไม่เกิน 150 วัตต์
- ให้ค่าสัญญาณรบกวน RFI/EMI ก่อนชั้งสูง
- ประสิทธิภาพค่อนข้างต่ำเมื่อเทียบกับคอนเวอร์เตอร์แบบอื่นๆ

2.2 แบตเตอรี่

แบตเตอรี่ที่ใช้กับรถจักรยานไฟฟ้าที่พบเห็นตามท้องตลาดโดยทั่วไปจะเป็นชนิดแบตเตอรี่แก๊สตะกั่วกรด (Lead - Acid) นิกิลแคมเมี่ยน (NiCd) นิกิลเมทอลไอโคร์ด (NiMH) และลิเทียม

โพลิเมอร์ (Li - Po) มีข้อดีคือ น้ำหนักเบา บำรุงรักษาง่าย และขนาดไม่ใหญ่นัก ส่วนข้อเสียคือราคาแพง ประสิทธิภาพต่ำกว่า และอาจการใช้งานสั้น

แบตเตอรี่ที่ผู้ทำโครงงานเลือกใช้คือ แบตเตอรี่ชนิดตะกั่วแบบแห้งมีคุณสมบัติเด่นคือ ประสิทธิภาพสูง มีแรงดันต่อเซลล์สูง (จึงให้พลังงานไฟฟ้าสูง) คุ้มครองยาวนาน และหาซื้อได้ทั่วไป ส่วนประกอบของแบตเตอรี่ชนิดตะกั่วแสดงได้ดังรูปที่ 2.6



รูปที่ 2.6 แบตเตอรี่ตะกั่วกรดแบบแห้ง [2.6]

2.2.1 ประเภทของแบตเตอรี่ตะกั่วกรดแบบแห้ง

แบตเตอรี่แบบแห้งจะแบ่งเป็น 2 ประเภท ก็อประเกทที่ใช้เจลเป็นวัสดุดูดซับกรดเรียกว่า แบตเตอรี่แบบเจล (Gel Battery or Gel Cell) และประเกทที่ใช้แผ่นชิลิกาไฟเบอร์เป็นตัวดูดซึมเรียกว่า แบตเตอรี่แบบอะจีอีเง็ม (AGM Battery) ซึ่งลักษณะการแบ่งประเภทแบบนี้เป็นการแบ่งตามลักษณะโครงสร้างทางกายภาพของแบตเตอรี่แต่การแบ่งประเภทของแบตเตอรี่ตะกั่วกรดยังแบ่งได้อีกลักษณะหนึ่งคือ การแบ่งประเภทตามลักษณะการใช้งาน โดยจะแบ่งเป็นแบตเตอรี่แบบใช้งานทั่วไป หรือแบบที่ใช้สำหรับสตาร์ทเครื่องยนต์ แบบภายในห้องประจุลึกและแบบลูกผสม

ความแตกต่างระหว่างแบตเตอรี่แบบเจลและแบบอะจีอีเง็ม ก็อ แบตเตอรี่แบบเจลจะเป็นแบตเตอรี่ที่แห้งกว่าแบบอะจีอีเง็ม ด้วยลักษณะของมันแตกต่างไม่มีน้ำกรดไหลหรือซึมออกมานั่นเอง สำหรับแบบอะจีอีเง็มจะชันนำกรดได้ประมาณ 95% ดังนั้นถ้าเปลี่ยนของมันแตกแม่น้ำกรดจะไหลออกมานา แต่ก็อาจจะมีการซึมออกมานาได้น้ำหนักน้อย

ในปัจจุบันจะนิยมใช้แบตเตอรี่ตะกั่วกรดแบบอะจีอีเง็มมากกว่าแบบเจล ส่วนแบบเจลมีการใช้น้ำขจัดเนื้องจากมีข้อเสีย คือ เกลน้ำจะละลายเมื่ออุ่นในสภาพอากาศที่ร้อนและถ้าเกิดการโอมเวอร์

ชาร์จชีนแบตอ่างจะเปลี่ยนรูปเป็นสารเหนียวๆ ที่เรียกว่า วอช์ด (Void) ไปเกาะติดแน่นอยู่ที่แผ่นชาตุ ขัดขวางการแลกเปลี่ยนประจุระหว่างอะลีกกรอ ໄลต์และแผ่นชาตุ ทำให้ประสิทธิภาพของแบตเตอรี่ลดลง

แบตเตอรี่ทั้งแบบเจ็ทเทิร์นและแบบเจลยังแบ่งย่อออกได้เป็นแบตเตอรี่ตะกั่วกรดแบบปิด พนีกหรือ SLA (Scaled Lead Acid) และแบบปิดพนีกที่มีวาล์วระบายนางคันหรือ VRLA (Valve Regulator Lead Acid) แบตเตอรี่แบบ VRLA นี้จะมี การติดตั้งเซฟตี้วาล์ว (Safety Valve) เพื่อใช้ ระบบแก๊สในกรณีที่ความดันภายในเซลล์สูงเกินไป เพื่อป้องกันแบตเตอรี่เสียหาย

2.2.2 การอัดประจุแบตเตอรี่ตะกั่วกรดแบบปิดพนีก

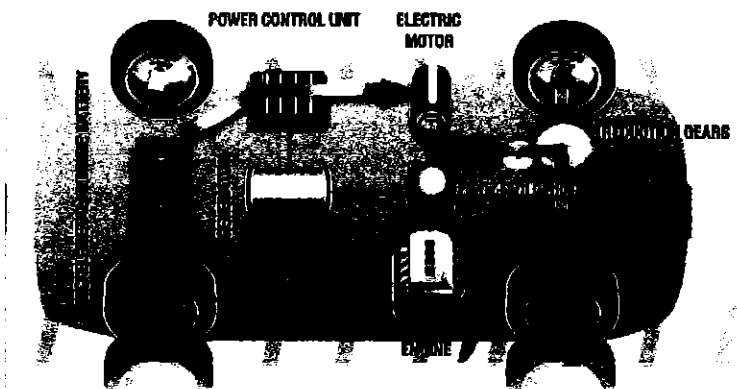
การอัดประจุแบตเตอรี่ทั้ง 2 ประเภท คือ SLA และ VRLA จะต้องไม่อัดประจุเร็วหรือ มากจนเกินไป เพื่อป้องกัน ไม่ให้เกิดแก๊สในขณะอัดประจุมากนัก การอัดประจุมากหรือเร็วเกินไป จะทำให้ปฏิกิริยาเคมีภายในเซลล์สูดซับแก๊สที่เกิดขึ้นไม่ทัน ความดันภายในแบตเตอรี่จะสูงขึ้นเป็น สาเหตุให้เกิดการสูญเสียแก๊สและน้ำออกไปจากตัวแบตเตอรี่ การเสียแก๊สและน้ำออกไปก็เท่ากับว่า แบตเตอรี่ได้สูญเสียอิเล็กกรอ ໄลต์ออกไปจากระบบ เพราะแก๊สและน้ำเป็นส่วนประกอบของอิเล็กกรอ ໄลต์ เมื่อแบตเตอรี่มีปริมาณอิเล็กกรอ ໄลต์น้อยลงจะสูญเสียความสามารถในการเก็บพลังงาน ไป ทำให้แรงดันไฟฟ้าหรือโวลต์ของแบตเตอรี่หลังจากการอัดประจุไม่สูงเท่าที่ควรเป็น และถ้า แบตเตอรี่มีการเสียแก๊สและน้ำบ่อยๆ อิเล็กกรอ ໄลต์ภายในเซลล์ก็จะหมดไปทำให้แบตเตอรี่ใช้งาน ไม่ได้อีก

2.3 รถไอยบридและรถไฟฟ้า

เนื่องจากผลกระทบที่เกิดจากสภาวะโลกร้อน ทำให้หลายประเทศต้องหัวใจการลดใช้ พลังงานจากฟอสซิลให้น้อยลง และการสร้างความมั่นคงทางด้านพลังงานเป็นอีกเหตุผลที่ทำให้ ประเทศต่างๆ ลดการใช้น้ำมันลง โดยมีวิธีการลดการใช้พลังงานคือ

- จัดหาพลังงานอื่นเพื่อมาทดแทนพลังงานที่กำลังจะหมดไป
- พัฒนาขนาดนต์ให้มีประสิทธิภาพมากขึ้นเพื่อรับรับพลังงานรูปแบบอื่นได้

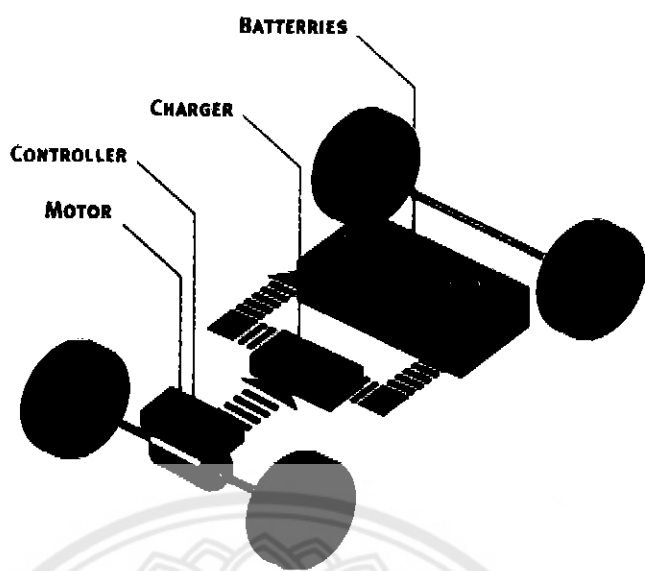
รถไอยบридและรถยนต์ไฟฟ้าจึงได้รับการพัฒนามากอย่างต่อเนื่อง และได้มีการพัฒนาขนาดนต์ที่สามารถใช้พลังงานไฟฟ้ามาขับเคลื่อนเครื่องยนต์ ทำให้ขนาดนต์ไฟฟ้ามีผลต่อการซ่อม แก้ปัญหาสภาวะโลกร้อนได้เป็นอย่างดี



รูปที่ 2.7 ตัวอย่างหลักการทำงานของรถไอนริค [2.7]

การใช้พลังงานไฟฟ้ามาทดแทนการใช้น้ำมันในยานยนต์ต่างๆสามารถทำได้โดยใช้ พลังงานไฟฟ้าและน้ำมันในรถไอนริค โดยรถไอนริคจะต้องใช้ห้องเครื่องยนต์และมอเตอร์ไฟฟ้า อีก แนวทางที่สามารถทำได้คือ ใช้พลังงานไฟฟ้าอย่างเดียวโดยผ่านมอเตอร์ไฟฟ้า ซึ่งใช้แบตเตอรี่เป็น แหล่งจ่ายพลังงานให้กับมอเตอร์ แต่รถไฟฟ้ารุ่นเก่ามีปัจจัยจำกัดทางด้านระยะทางที่ขับเคลื่อนได้จาก การอัดประจุแต่ละครั้ง และยังใช้วิถีการอัดประจุนาน นอกเหนือนี้ยังบรรทุกน้ำหนักได้น้อยเพรำะ ต้องบรรทุกแบตเตอรี่ที่มีน้ำหนักพอสมควร แต่รถไฟฟ้ารุ่นใหม่ได้มีการพัฒนาแบตเตอรี่ที่ใช้ เทคโนโลยีใหม่ให้มีการเก็บสะสมพลังงานได้นานขึ้น และมีการพัฒนาเครื่องอัดประจุให้มี ประสิทธิภาพมากขึ้นไปด้วย

ข้อได้เปรียบของรถไฟฟ้าคือ ระบบเบตเตอร์ – มอเตอร์ไฟฟ้ามีประสิทธิภาพสูงกว่าระบบ น้ำมัน - เครื่องยนต์แบบสันดาปภายในถึงประมาณ 3 เท่า รถยนต์ไฟฟ้าขนาดมาตรฐานจะใช้ พลังงานไฟฟ้าประมาณ 0.16 กิโลวัตต์ต่อชั่วโมง หรือประมาณ 0.50 บาทต่อกิโลเมตร ซึ่งค่อนข้าง ใช้น้ำมันมาก ซึ่งจะเห็นได้ว่าภายในระยะทางรถไฟฟ้าจะมีระยะขับเคลื่อนเท่ากับรถที่ใช้น้ำมันใน ปัจจุบันเนื่องจากแนวคิดว่าถูกปรับปรุงให้ดีขึ้นอย่างค่อนข้อง



รูปที่ 2.8 ตัวอย่างหลักการทำงานของรถไฟฟ้า [2.8]

แนวโน้มของยานยนต์ในอนาคต ผลกระแทกจากสภาวะโลกร้อนและราคาน้ำมันได้เพิ่มสูงขึ้นอย่างรวดเร็ว จะทำให้เกิดการเปลี่ยนแปลงการใช้ยานยนต์ในการขนส่งหรือเดินทาง ยานยนต์ที่มีประสิทธิภาพสูงขึ้นและใช้น้ำมันเบนซินและดีเซลน้อยลงจะเพิ่มขึ้นอย่างรวดเร็ว ประเทศต่างๆ ในยุโรปได้กำหนดมาตรฐานการปล่อยก๊าซการ์บอนไดออกไซด์ที่เข้มงวดขึ้นอย่างต่อเนื่อง ข้อกำหนดเช่นนี้มีส่วนทำให้บริษัทผลิตรถยนต์ต้องพัฒนารถไฟฟ้าอย่างต่อเนื่อง ในอนาคตรถไฟฟ้าจะเข้ามายืนหนาหามากในวงการยานยนต์อย่างเต็มรูปแบบ

บทที่ 3

การสร้างวงจรการทำงาน

จากการศึกษาการทำงานของวงจรการอัดประจุแบบเตอร์ในบทที่ 2 ซึ่งวงจรการทำงานที่ใช้คือคอนเวอร์เตอร์แบบฟลัตย์แบค ดังนั้นในบทนี้จึงได้อธิบายกระบวนการประกอบคอนเวอร์เตอร์แบบฟลัตย์แบค ดังจะแสดงในหัวข้อด้านไป

3.1 การสร้างวงจรคอนเวอร์เตอร์แบบฟลัตย์แบค

วัสดุประสงค์ของการออกแบบวงจรควบคุมการอัดประจุของแบบเตอร์คือเพื่อแปลงและลดระดับแรงดันที่ได้จากแหล่งจ่ายไฟฟ้ากระแสสลับขนาด 220 โวลต์ 50 เฮิรตซ์ เพื่อนำใช้ในการอัดประจุแบบเตอร์ขนาด 12 โวลต์ 3 อุณหภูมิกันอยู่

3.1.1 ขั้นตอนการสร้างคอนเวอร์เตอร์แบบฟลัตย์แบค

- 1) ออกร่างแบบวงจรคอนเวอร์เตอร์แบบฟลัตย์แบคโดยการศึกษาจากแหล่งข้อมูลต่าง ๆ โดยกำหนดขนาดแรงดัน กระแสและความถี่ใช้งานตามความต้องการ โดยออกแบบให้มีการควบคุมกระแสและแรงดันให้คงที่
- 2) ทำการพับหน้าจอแปลงสวิตช์โดยเลือกใช้แคนเฟอร์ライト์และลวดตามขนาดที่เหมาะสม สามารถต่อกราฟฟิกที่คำนวณได้ โดยพับให้มีขนาด 3 ชุด กึ่ง ขนาดปฐมภูมิ ขนาดที่สองและขนาดที่สาม ลักษณะการพับให้พับกลับข้ามกันระหว่างขนาดปฐมภูมิและขนาดที่สอง
- 3) ศึกษาเก็บข้อมูลที่เกี่ยวกับวงจรควบคุมการทำงานของ mosfet
- 4) ศึกษาและสร้างวงจรขั้มนอสเฟตโดยใช้ชิ้นหมายเลข UC3844
- 5) จัดซื้ออุปกรณ์ตามที่ได้ศึกษาฯ ประกอบวงจรตามแบบที่ได้ทำการศึกษาและออกแบบมา โดยการต่อวงจรเข้ากับแผ่นโปรโตบอร์ด (Proto Board) ทำการต่อวงจรโดยใช้ชิ้นหมายเลข UC3844 เป็นอุปกรณ์ส่งสัญญาณเข้าที่ขาเทียบของ mosfet
- 6) ศึกษาการควบคุมแรงดันและกระแส โดยใช้หลักการควบคุมกระแสและรักษาแรงดันแรงดัน (Constant Current Constant Voltage - CCCV) คือ ช่วงแรกของการอัดประจุ วงจรควบคุมกระแสจะทำงานเพื่อควบคุมกระแสที่ใช้อัดประจุจำกัดอยู่ที่ค่าๆ หนึ่ง

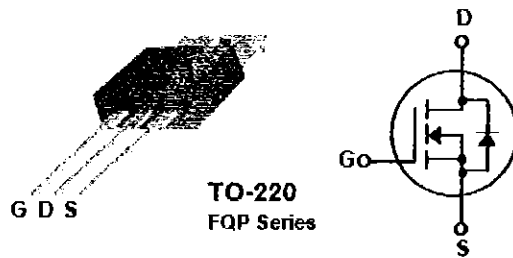
ช่วงหลังของการอัดประจุ กระแสจะค่อยๆลดลงและแรงดันจะค่อยๆเพิ่มขึ้น วงจรรักษาระดับแรงดันจะรักษาระดับแรงดันไม่ให้เกินค่าที่กำหนดไว้

- 7) ต่อวงจรรักษาระดับแรงดันเข้ากับวงจรหลัก โดยให้อุปกรณ์เอาท์พุตของวงจรหลัก ทำการทดลองกับโหลดอิเล็กทรอนิกส์ (DC Electronic Load) ใช้ออสซิลโลสโคป (Oscilloscope) วัดค่าสัญญาณแรงดันเอาท์พุตและใช้มัลติมิเตอร์ (Multimeter) วัดค่าแรงดันขาออก ทดสอบเพื่อสังเกตระดับแรงดัน (Voltage Regulation) ตามที่ต้องการ หรือไม่ ปรับแก้วงจรตามความเหมาะสมเพื่อให้วงจรสามารถรักษาแรงดันได้
- 8) ต่อวงจรควบคุมกระแสเข้ากับวงจรหลัก โดยให้อุปกรณ์เอาท์พุตของวงจรหลัก และให้ทำงานร่วมกับวงจรรักษาระดับแรงดัน ทำการทดลองกับโหลดอิเล็กทรอนิกส์ ใช้ออสซิลโลสโคป วัดค่าสัญญาณกระแสเอาท์พุตและใช้มัลติมิเตอร์วัดค่ากระแสขาออก ทดสอบดูว่ามีการควบคุมกระแสขาออกไว้ได้หรือไม่ ปรับแก้วงจรตามความเหมาะสมเพื่อให้วงจรสามารถควบคุมกระแสได้
- 9) ทำการทดสอบขั้นต้น โดยทดลองนำวงจรด้านบนไปทำการทดลองอัดประจุแก่แบตเตอรี่ ปรับแก้วงจรตามความเหมาะสม
- 10) ทำการออกแบบ PCB โดยใช้โปรแกรม Protel 99SE และทำการสร้างแผ่นปรินต์คานที่ออกแบบไว้
- 11) ทดสอบการทำงานของวงจรขั้นสุดท้าย โดยตรวจสอบการควบคุมแรงดันและกระแสด้านออก

3.1.2 การเลือกใช้อุปกรณ์ของคอนเวอร์เตอร์แบบฟลักยแปลค

1) สวิตช์

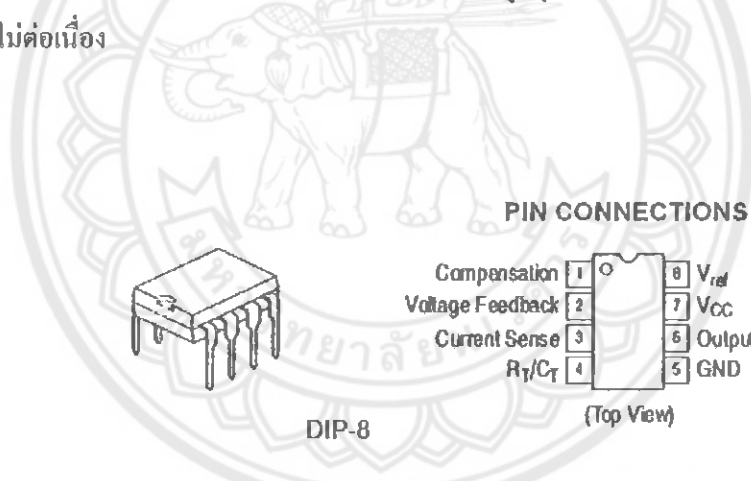
เนื่องจากคอนเวอร์เตอร์แบบฟลักยแปลคนี้ต้องจะเปลี่ยนไฟตรงที่ใช้งานกับความถี่สวิตชิ่ง ในโครงงานเลือกใช้ความถี่อยู่ในช่วง 50 - 500 กิโลเฮิรตซ์ จึงเลือกใช้มอสเฟตแทนการใช้กรานซิสเตอร์ เพราะมอสเฟตเหมาะสมกับการใช้งานที่ความถี่สวิตชิ่งสูงเมื่อเทียบกับสวิตช์กำลังชนิดอื่น และในที่นี้เลือกใช้มอสเฟต หมายเลข FQP7N80 ซึ่งทนกระแสได้ 6.6 แอมป์ และทนแรงดันได้ 800 โวลต์ N - Channel ตัวถังเป็นแบบ TO - 220



รูปที่ 3.1 ลักษณะของสเปคและขาต่างๆ

2) วงจรสร้างสัญญาณควบคุมสวิตช์

ในโครงการนี้ สวิตช์จะถูกควบคุมด้วยสัญญาณที่สร้างมาจากไอซี (Integrated Circuit, IC) หมายเลข UC3844 (ดูรูปที่ 3.1) ซึ่งใช้งานง่าย และเป็นไอซีที่ใช้ควบคุมในโหมดกระแสด้วย และมีข้อดีคือ ใช้กระแสเริ่มต้นต่ำ 0.5 มิลลิแอมป์ และสามารถทำงานที่ความถี่สูงถึง 500 กิโลเฮิรตซ์ ต้องการไฟเดียว 16 โวลต์ มีกำไรต่ำๆ เกิดสูงสุด 50% เมื่อมาสำหรับใช้งานในโหมดกระแสไม่ต่อเนื่อง



รูปที่ 3.2 ลักษณะไอซีและขาต่างๆ ของ UC3844

หลักการทำงานของ UC3844 แสดงได้ดังรูปที่ 3.2 โดยจะรับแรงดันด้านเข้าทางขาที่ 7 และรับค่าแรงดันอ้างอิง 5 โวลต์ ทางขาที่ 8 และมีการต่อสายดินออกทางขาที่ 5 ภายในไอซีจะมี วงจรการมอคุเลตความกว้างพัลส์ (Pulse - width modulation, PWM) เพื่อรับสัญญาณต่างๆ มา ประมวลผลแล้วสร้างเป็นสัญญาณพัลส์ก่อนที่จะส่งสัญญาณออกทางขาที่ 6 เพื่อใช้ในการควบคุม mosfet

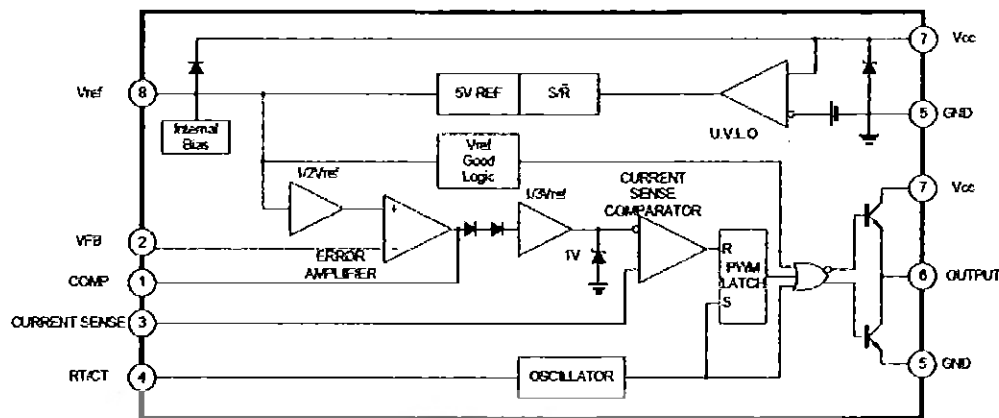
15732943

ผศ.

9617601

2952

BLOCK DIAGRAM

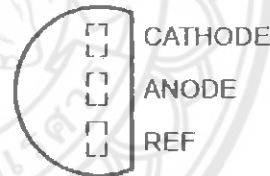


รูปที่ 3.3 วงจรภายในของไอซี UC3844

3) อุปกรณ์ที่ใช้ควบคุมแรงดันและกระแส

ในโครงการนี้เลือกใช้ไอซีเบอร์ TL431 เป็นอุปกรณ์ที่ใช้ควบคุมแรงดันและกระแส ตัวถังเป็นแบบ TO - 92 ซึ่งจะประกอบด้วยขาห้องหม้อ 3 ขา คือ ขาแอดโนด ขาแก็ตodiode และขาอ้างอิง

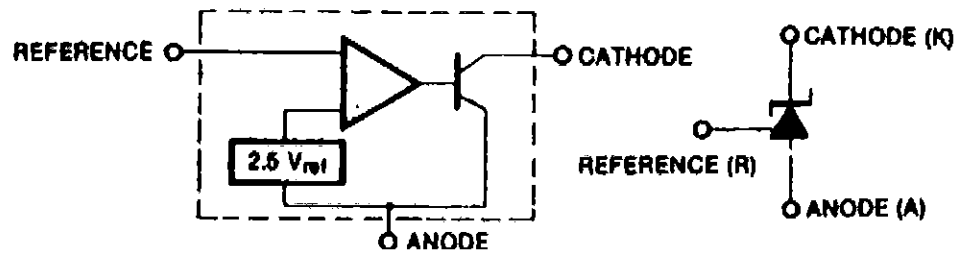
TO-92



1. Ref 2. Anode 3. Cathode

รูปที่ 3.4 ลักษณะไอซีและขาค่าๆ ของ TL431

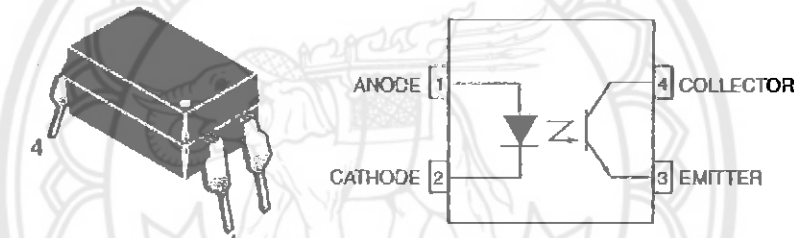
ลักษณะการทำงานคล้ายกับชีเนอร์ไคโอด แค่แตกต่างกันตรงที่ TL431 จะทำงานเมื่อได้รับแรงดัน 2.5 โวลต์ป้อนเข้าที่ขาอ้างอิง เมื่อมีแรงดันป้อนเข้าที่ขาอ้างอิงถึง 2.5 โวลต์ จะทำให้กระแสสามารถไหลจากขาแก็ตodiode ไปแอโนดได้ จากการทำงานดังกล่าวจึงสามารถนำมาระบุกต์ใช้ในส่วนของการควบคุมแรงดันและกระแสได้



รูปที่ 3.5 วงจรภายในและสัญลักษณ์ของ TL431

4) อุปกรณ์ที่ใช้ในการส่งสัญญาณระหว่างอินพุตและเอาท์พุต

อุปกรณ์ที่ใช้ในการส่งสัญญาณระหว่างอินพุตและเอาท์พุต มีหน้าที่ทำให้เกิดการแยกกันทางไฟฟ้า (Isolated) เพื่อความปลอดภัยของผู้ใช้งาน ในโครงงานนี้เลือกใช้โซลูชัน FOD817

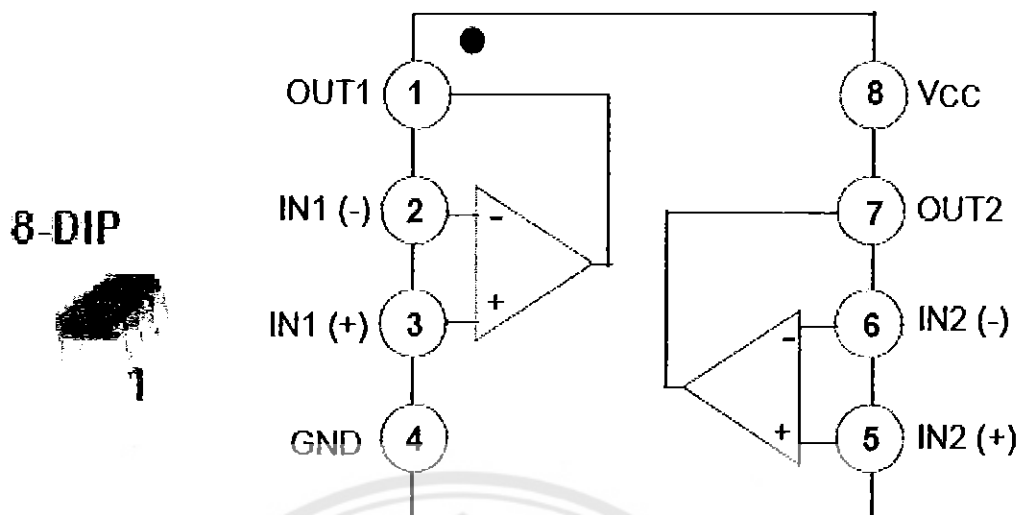


รูปที่ 3.6 ลักษณะไอซ์แลวนชากายในของ FOD817

ไอซี FOD817 ประกอบด้วยขาทั้งหมด 4 ขา ภายในของ FOD817 จะประกอบไปด้วยไฟได้กรานชิสเดอร์และไฟโอดิเพล่ร์แส้ง มีหลักการทำงานคือ ไฟได้กรานชิสเดอร์จะนำกระแสนา กน้อยเข้าอยู่กับความเรื้อรังแส้งที่ถูกปล่อยออกจากไฟ โอดิเพล่ร์แส้ง ส่วนแส้งที่ถูกปล่อยออกจากไฟ ได้โอดิเพล่ร์แส้งจะเข้าอยู่กับปริมาณกระแสที่ไฟผลิตขึ้น ไฟโอดิเพล่ร์แส้ง ถ้ามีกระแสไฟ流ผ่าน ไฟโอดิเพล่ร์แส้งมากจะทำให้ไฟได้กรานชิสเดอร์นำกระแสนาตามไปด้วย

5) อุปกรณ์ที่ใช้ในการขยายสัญญาณ

เนื่องจากงจรควบคุมกระแสงใช้ดัชนีทาน (R_Sense) ที่มีความต้านทานต่ำมาก ทำให้สัญญาณที่ส่งมาเพื่อควบคุม TL431 มีค่าน้อยมาก จึงนั้นเพื่อการขยายสัญญาณให้ได้ตามที่ต้องการ จึงใช้อปเปอเรเตอร์ (Operational Amplifier) เพื่อขยายสัญญาณ ซึ่งอปเปอเรเตอร์ที่เลือกใช้คือ LM358

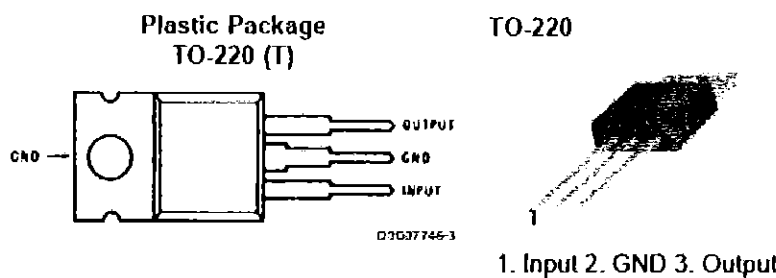


รูปที่ 3.7 ลักษณะไอซีและวงจรภายในของ LM358

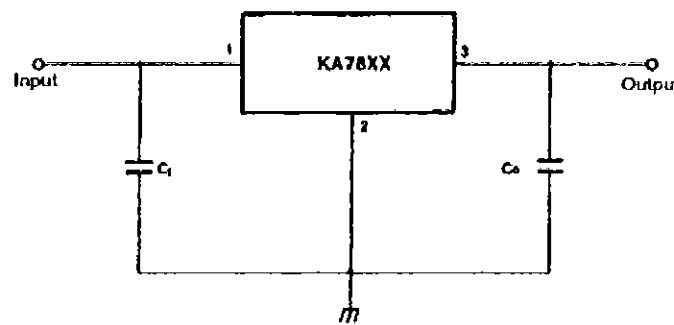
อุปกรณ์ LM358 เป็นอุปกรณ์ที่สามารถใช้ไฟเลี้ยงได้ตั้งแต่ 3 - 32 โวลต์ ซึ่งเป็นอุปกรณ์ที่ใช้ไฟเลี้ยงเป็นไฟบวกเพียงอย่างเดียวเท่านั้น ภายในประกอบด้วยอุปกรณ์จำนวนสองชุด สามารถรับคำสั่งด้วยกระแสไฟฟ้าได้ตั้งแต่ 0.3 - 32 โวลต์

6) อุปกรณ์ที่ใช้ในการเรกคุณภาพแรงดัน (Voltage Regulator)

เนื่องจากต้องการไฟเลี้ยงไปจ่ายให้อุปกรณ์ 15 โวลต์ จึงต้องมีการเรกคุณภาพแรงดันเพื่อนำมาใช้เป็นไฟเลี้ยงอุปกรณ์ ดังนั้นจึงเลือกใช้ไอซี 7815 ตัวถังแบบ TO - 220 ซึ่งเป็นไอซีที่ใช้งานง่าย สามารถเรกคุณภาพแรงดันอินพุตในช่วง 17.7 - 35 โวลต์ และสามารถจ่ายกระแสไฟสูงสุด 1 แอมป์ ให้อาทีพุดออกนา 15 โวลต์ ไอซีประกอบด้วยขาห้อง 3 ขา ได้แก่ อินพุต เอาท์พุต และกราวด์

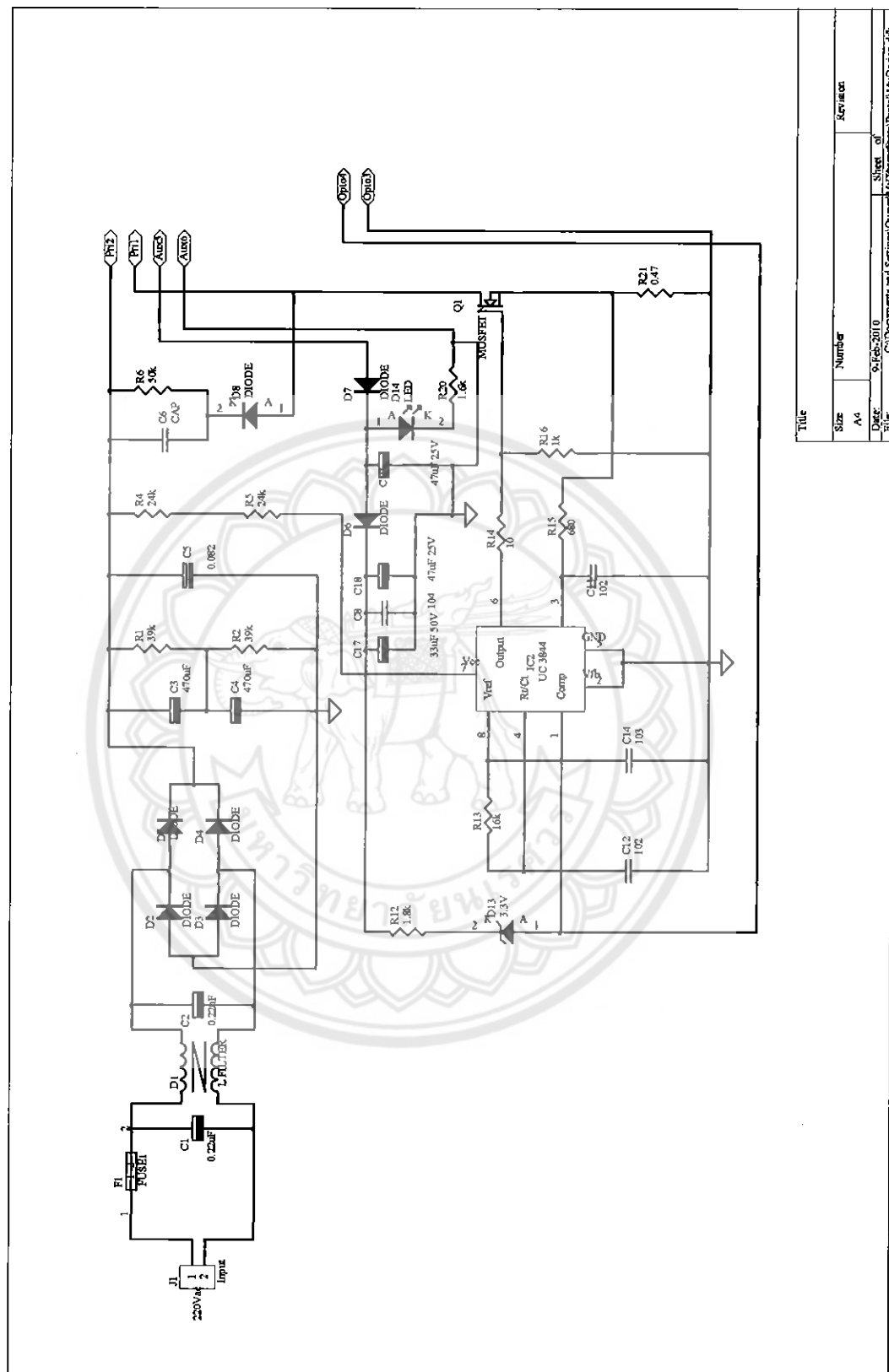


รูปที่ 3.8 ลักษณะไอซีและขาค่างๆ ของ 7815

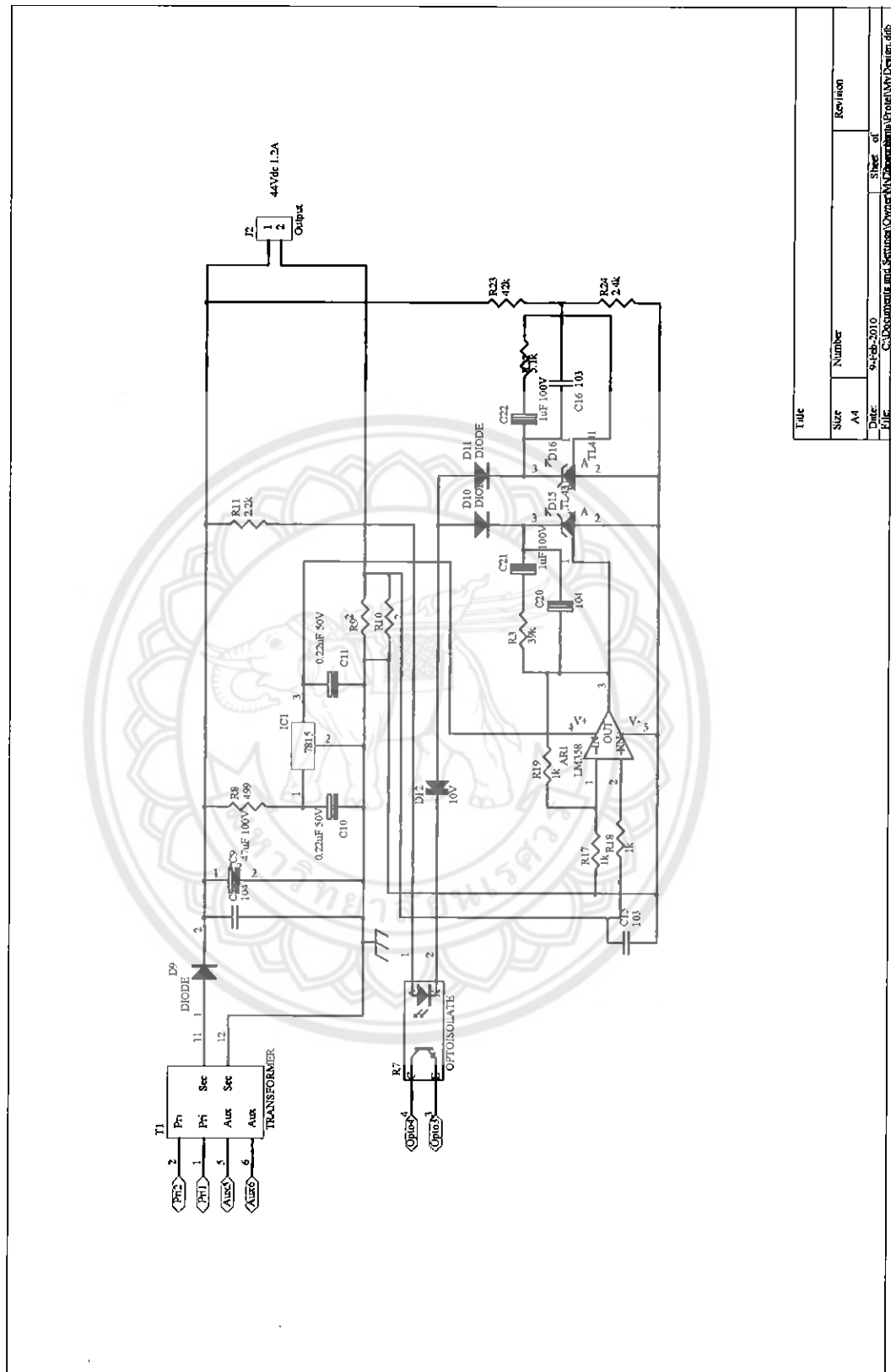


รูปที่ 3.9 การต่อวงจรเพื่อเรกเกลทแรงดัน

หลังจากที่ออกแบบและเลือกอุปกรณ์เรียบร้อยแล้ว ประกอบวงจรตามรูปที่ 3.10 และ 3.11 จะได้วงจารีดแนบตามรูปที่ 3.12 และทำการออกแบบแผ่นปรินต์คัพขึ้นโดยโปรแกรม Protel 99SE (รูปที่ 3.15) จะได้วงจรที่เสร็จสมบูรณ์ดังรูปที่ 3.16



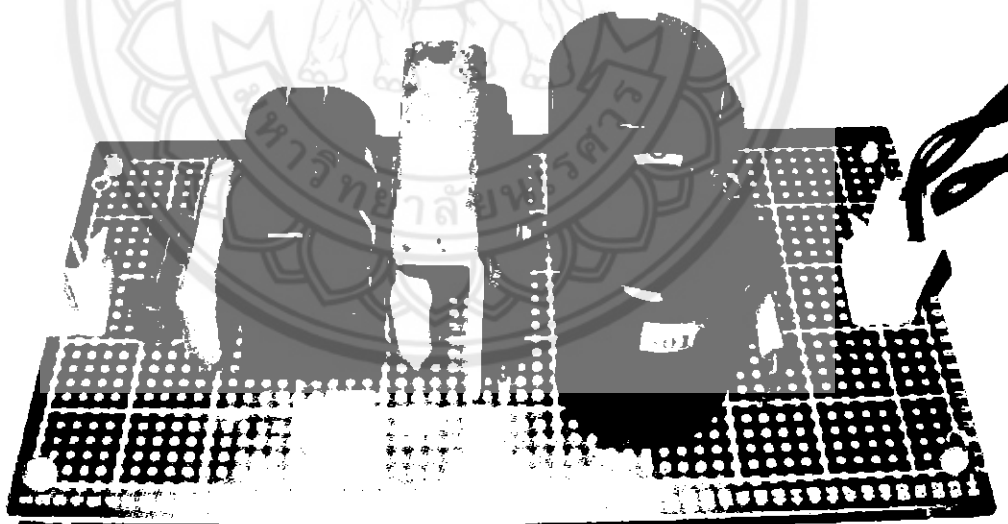
รูปที่ 3.10 วงจรอัคประจุแบบเตอร์ส่วนอินพุต



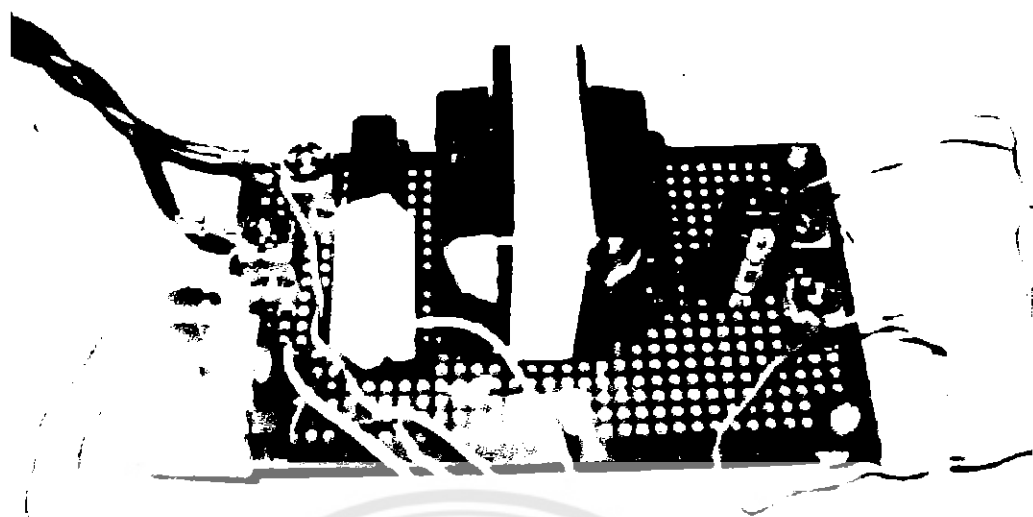
รูปที่ 3.11 วงจรอัคประจุแบบเตอร์ส่วนเอาท์พุต



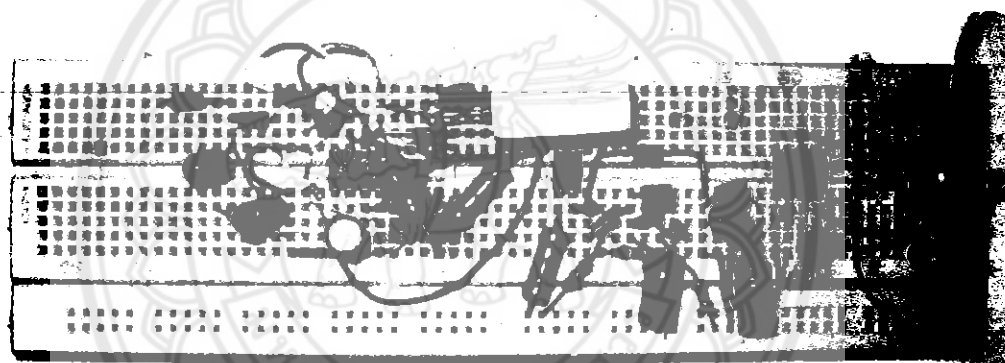
รูปที่ 3.12 วงจรต้นแบบที่ใช้ในการทดลอง



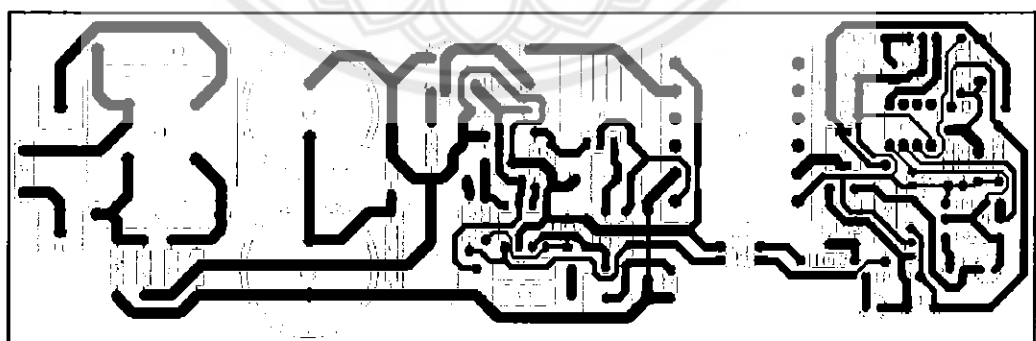
รูปที่ 3.13 วงจรตัวเรียบกระแสส่วนอินพุต



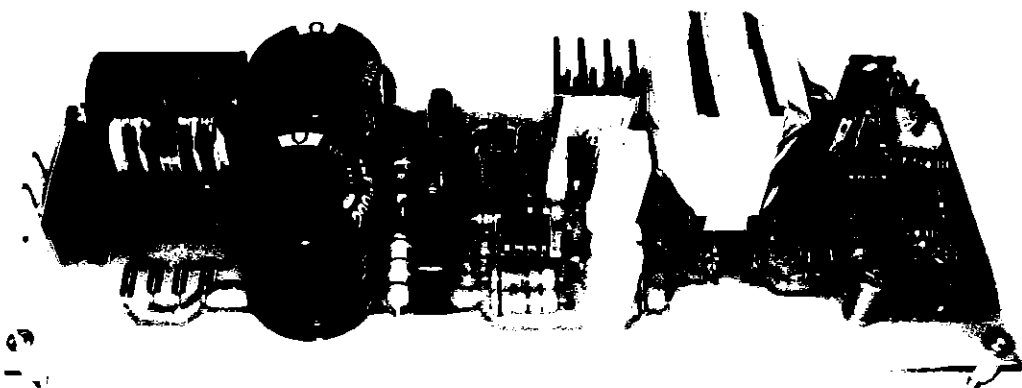
รูปที่ 3.14 วงจรในส่วนของคอนเวอเร็ตเตอร์



รูปที่ 3.15 วงจรในส่วนของวงจรควบคุม



รูปที่ 3.16 ลายวงจรที่ออกแบบโดยโปรแกรม Protel99SE



รูปที่ 3.17 วงจรที่เสร็จสมบูรณ์ (2.5×7.5 ตารางนิ้ว)

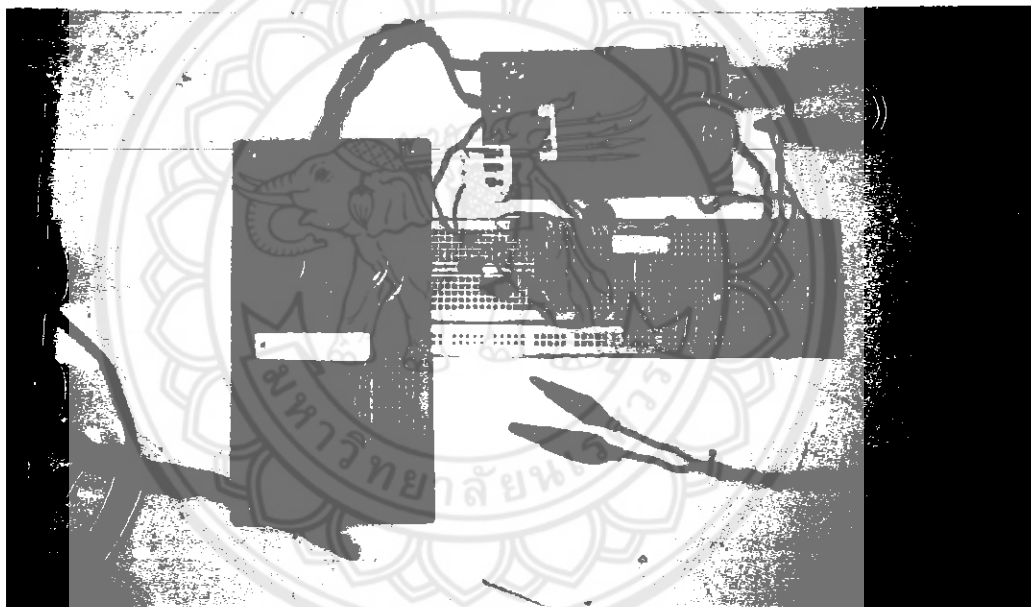


บทที่ 4

ผลการทดสอบ

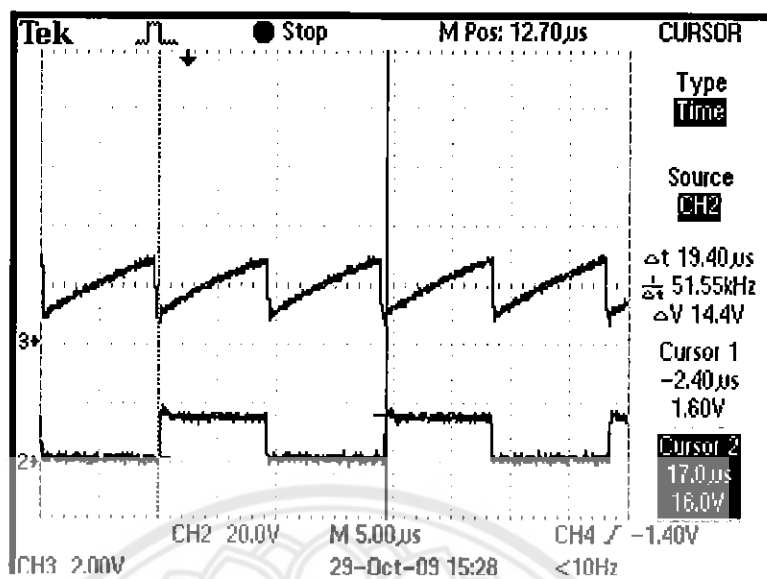
4.1 การทดสอบวงจรอัคประจุแบตเตอรี่ขณะไม่มีโหลด

ขั้นตอนแรกก่อนการทดสอบวงจรอัคประจุแบตเตอรี่ต้นแบบ (Prototype Circuit) ขณะที่ไม่มีภาระโหลด (No Load) เพื่อสังเกตการรักษาแรงดันคงท้างด้านเอาท์พุต และลักษณะรูปร่างของแรงดันเอาท์พุต รูปที่ 4.1 แสดงวงจรอัคประจุแบตเตอรี่ต้นแบบ



รูปที่ 4.1 การทดสอบวงจรขณะไม่มีโหลด

โดยในขั้นตอนนี้ต้องการทดสอบสัญญาณที่ควบคุมสวิตช์และสัญญาณนาฬิกาที่สร้างจากไอซี UC3844 พร้อมวัดสัญญาณสวิตชิ่งต่างๆ ที่เกิดขึ้นในวงจร โดยใช้ออสซิลโลสโคปในการวัดและบันทึกค่าที่ได้



รูปที่ 4.2 สัญญาณไฟกันและสัญญาณความถี่สุ่มสวิทช์ของไอซี UC3844

ในทางทฤษฎีการออกแบบความถี่สวิตชิ่งกำหนดความถี่ไว้ที่ 50 กิโลเฮิรตซ์ และความถี่ที่เกิดขึ้นจริงโดยการใช้ออสซิโลสโคปวัดสัญญาณที่ขา 6 และขา 4 ของไอซี UC3844 พบว่าสัญญาณความถี่ 51.55 กิโลเฮิรตซ์ ซึ่งเป็นความถี่ที่ยอมรับได้ (โดยมีความผิดพลาดประมาณ 2.22 %) และสัญญาณความถี่การทำงานของมอเตอร์ (ที่ขา 6) มีค่าความถี่ใช้เกล้ากัน 0.5 และในการทดสอบวงจรขณะที่ไม่มีกระแสไฟฟ้า ที่แรงดันด้านเอาท์พุตระหว่าง 180 - 240 โวลต์ ความถี่ 50 เฮิรตซ์ มีผลแรงดันด้านเอาท์พุตตามตารางที่ 4.1 โดยมีความคลาดเคลื่อนระหว่าง $\pm 1.69 - 1.94 \%$

ตารางที่ 4.1 ค่าแรงดันด้านเอาท์พุตขณะไม่มีไฟฟ้า

แรงดันด้านอินพุต (V)	แรงดันด้านเอาท์พุต (V)		ความคลาดเคลื่อน (%)
	การทดสอบ	ออกแบบ	
180	41.3	42	-1.69
200	41.2	42	-1.94
220	41.3	42	-1.69
240	41.2	42	-1.94

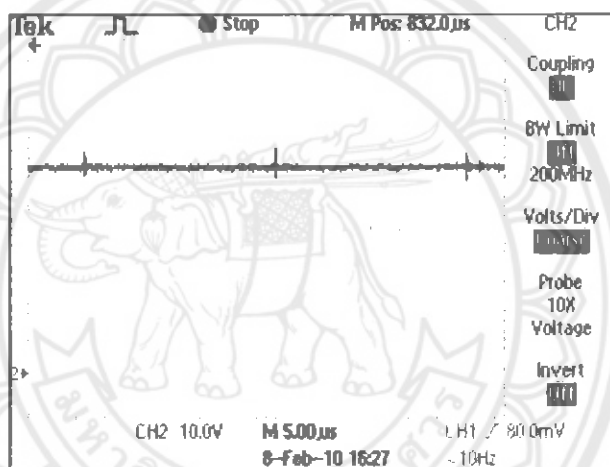
ค่าความคลาดเคลื่อนในตารางที่ 4.1 สามารถคำนวณได้จาก

$$\text{ค่าความคลาดเคลื่อน} = \frac{V_{o,Measurement} - V_{o,Design}}{V_{o,Design}} \times 100 \quad (4.1)$$

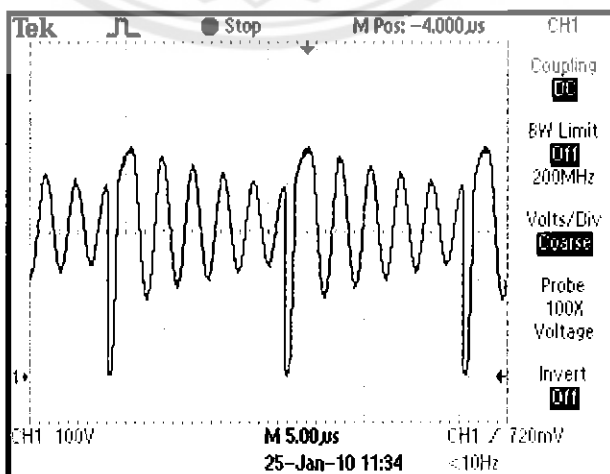
โดยที่ $V_{o,Measurement}$ คือค่าแรงดันด้านเอาท์พุตที่ได้จากการทดสอบ (โวลต์)

$V_{o,Design}$ คือค่าแรงดันด้านเอาท์พุตคำนวณจากออกแบบ (โวลต์)

รูปที่ 4.3 ตัวอย่างสัญญาณแรงดันด้านเอาท์พุตที่ได้จากการทดสอบของรัศมีขั้บเค้นที่ต้นแบบ พนว่าງจรสามารถตรวจาระดับแรงดันให้คงที่ (ประมาณ 42 โวลต์) ซึ่งเป็นไปตามคุณลักษณะการควบคุมในโหนดแรงดัน และรูปที่ 4.4 สัญญาณแรงดันแรงดันที่ตอกคร่องขาเครื่องชอร์สของมอสเฟต (Vds)



รูปที่ 4.3 แรงดันเอาท์พุตขณะไม่มีโหลด



รูปที่ 4.4 แรงดันที่ตอกคร่องขาเครื่องชอร์สของมอสเฟต (Vds)

4.2 การทดสอบวงจรอัดประแบบเตอร์กับโหลดอิเล็กทรอนิกส์

ในขั้นตอนนี้นำวงจรอัดประแบบเตอร์ต้นแบบที่ได้ไปทดสอบกับโหลดอิเล็กทรอนิกส์กระแสตรง (DC Load Electronics) โดยใช้โหลดประเภทความต้านทาน (Resistive Load) มีค่าตั้งแต่ 100 - 25 โอห์ม (ความต้านทานจากมากไปน้อย) ดังตารางที่ 4.2 และทำการวัดค่าแรงดันและกระแสทางด้านเอาท์พุต พร้อมทั้งวัดสัญญาณแรงดันที่ตอกคร่อมขาเดรนของ mosfet และสัญญาณความคุณการสวิตช์ไอซี ด้วยการป้อนแรงดันเข้าทางด้านอินพุต 220 โวลต์ 50 เฮิรตซ์

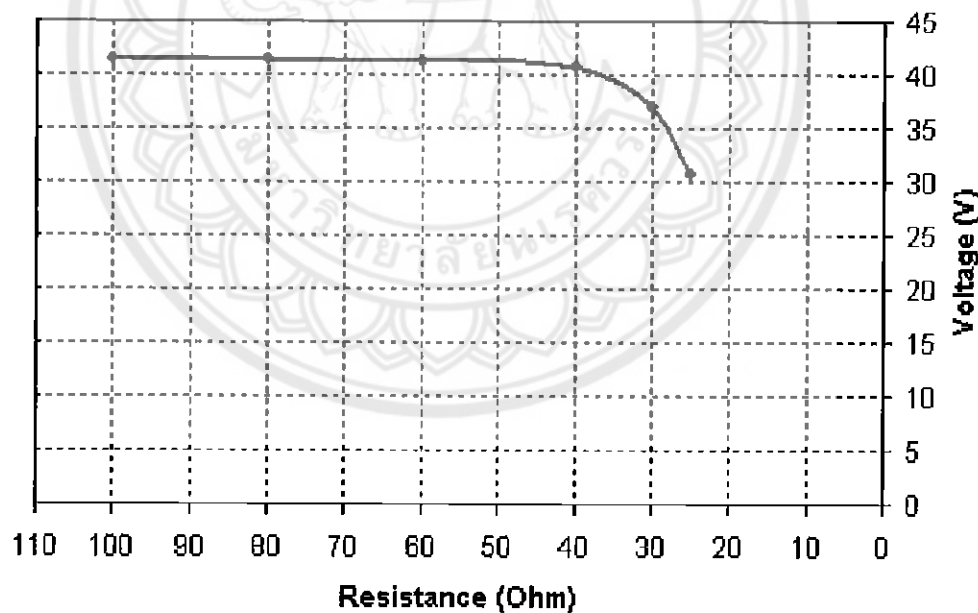


รูปที่ 4.5 การทดสอบกับโหลดอิเล็กทรอนิกส์

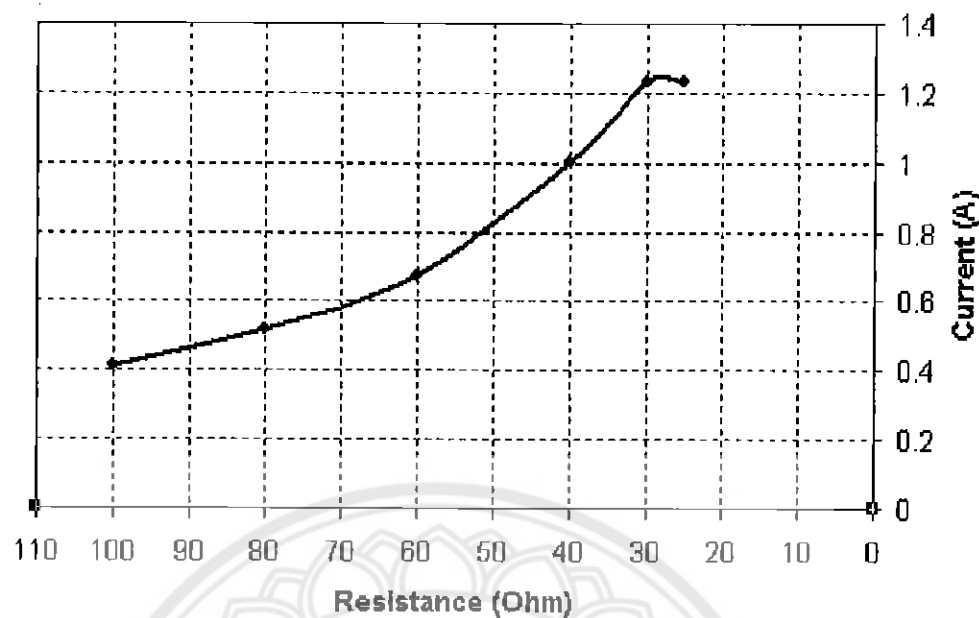
จากการทดลองเปลี่ยนแปลงค่าโหลดความต้านทาน (Resistive Load) ดังตารางที่ 4.2 พบว่า ค่ากระแสมีค่าเพิ่มขึ้นตามปริมาณโหลดที่มากขึ้น (กินกระแสมากขึ้น) และเมื่อถึงจุดๆหนึ่งระดับกระแสจะเริ่มคงที่ที่ค่าหนึ่ง (ตามการออกแบบข้างต้น) โดยผู้ทำโครงงานได้กำหนดระดับกระแสไว้ที่ 1.2 แอมป์ ค่าระดับกระแสที่ออกแบบไว้ในช่วงที่มีการควบคุมกระแสมีค่าใกล้เคียงกับระดับกระแสที่ได้ออกแบบไว้ดังแสดงในรูปที่ 4.6 และ 4.7 ส่วนรูปที่ 4.8 - 4.13 แสดงระดับสัญญาณแรงดัน Vds ของ mosfet และกระแสเอาท์พุต ที่ค่าความต้านทาน ระหว่าง 100 - 25 โอห์ม ตามลำดับ

ตารางที่ 4.2 ค่าแรงดันและกระแสด้านเอาท์พุตที่โหลดระดับต่างๆ

ค่าความต้านทาน (Ω)	แรงดันด้านเอาท์พุต (V)	กระแสด้านเอาท์พุต (A)
100	41.5	0.412
80	41.4	0.519
60	41.2	0.676
40	40.7	1.002
30	36.9	1.235
25	30.8	1.233

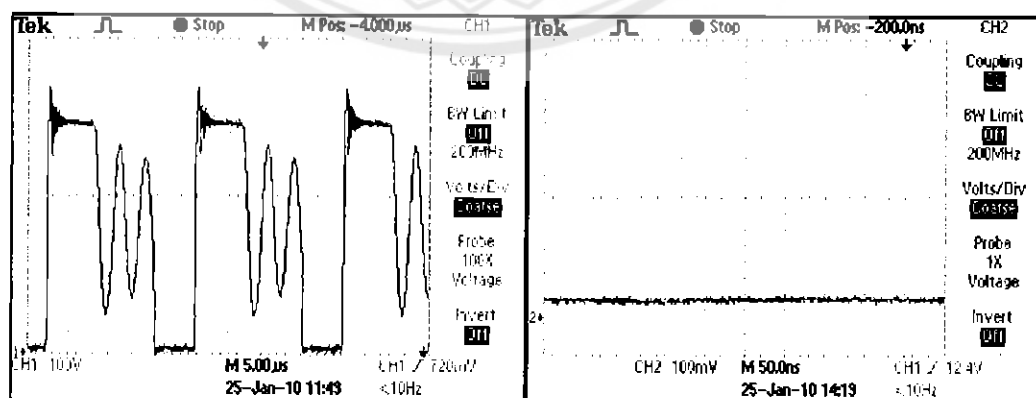


รูปที่ 4.6 กราฟค่าของแรงดันด้านเอาท์พุตเทียบกับค่าความต้านทาน

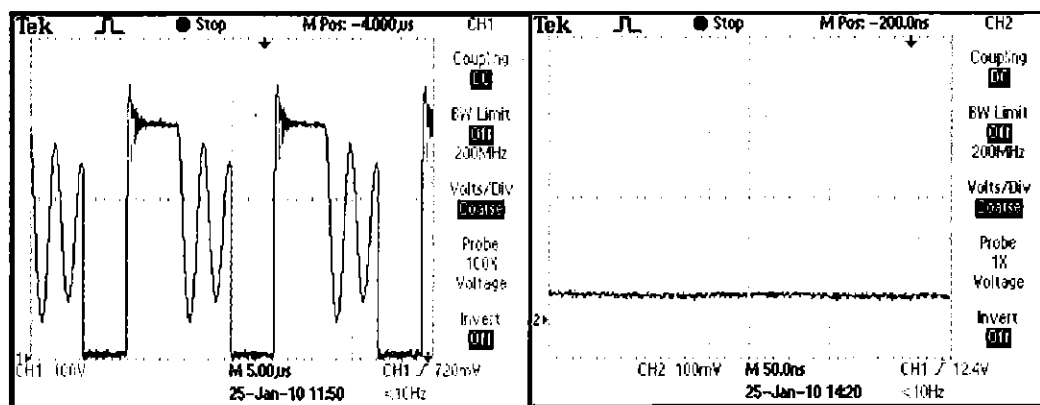


รูปที่ 4.7 กราฟค่าของกระแสเทียบกับค่าความต้านทาน

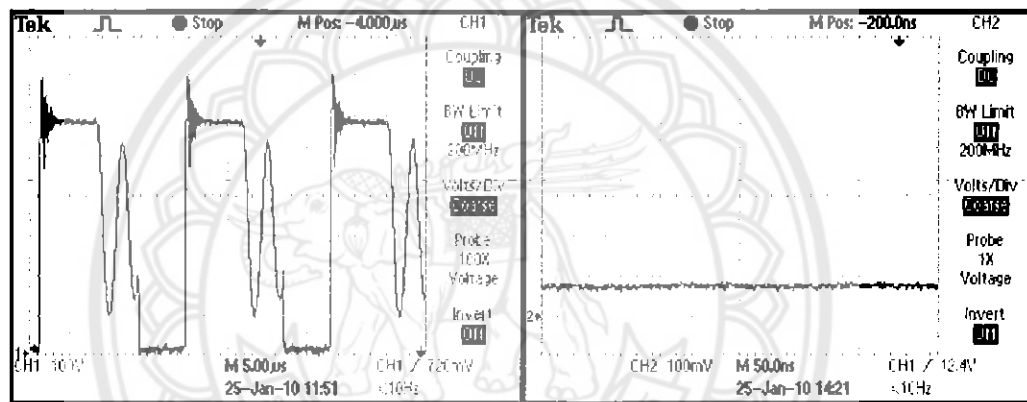
จากรูปที่ 4.8 - 4.13 จะแสดงให้เห็นความเปลี่ยนแปลงของแรงดันที่ตอกคร่อมขาเดренชอร์ส ซึ่งเกิดจากการเปลี่ยนแปลงของสัญญาณพอล์ส์ที่ความถี่การทำงานของมอเตอร์ คือเมื่อช่วงเวลาการนำกระแสของมอเตอร์มากขึ้น จะทำให้มีการเก็บสะสมพลังงานที่บัดลวนปฐมนิเทศน์ และเมื่อมอเตอร์หยุดนำกระแสจะสามารถส่งผ่านพลังงานมาทางฝั่งบัดลวนทุกดูกูนได้มากขึ้น ทำให้แรงดันตอกคร่อมที่ขาเดренชอร์สของมอเตอร์มากขึ้น



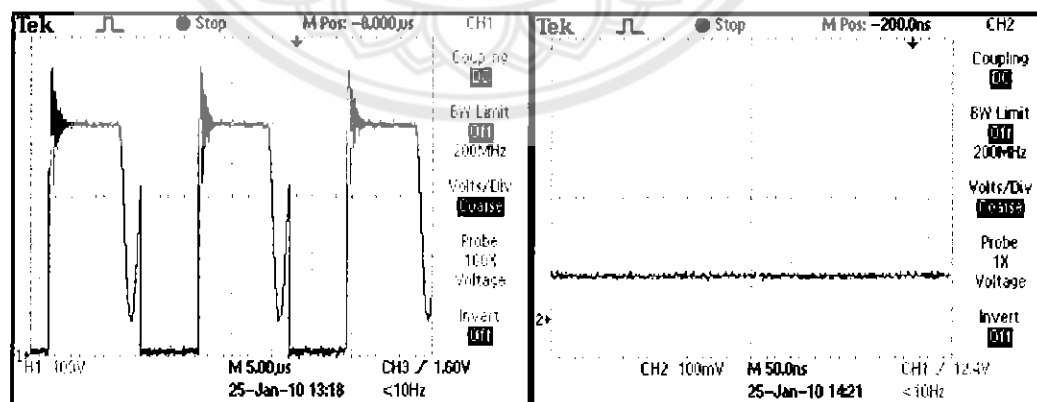
รูปที่ 4.8 แรงดัน Vds ของมอเตอร์และกระแสเอาท์พุต ที่ความต้านทาน 100 โอห์ม



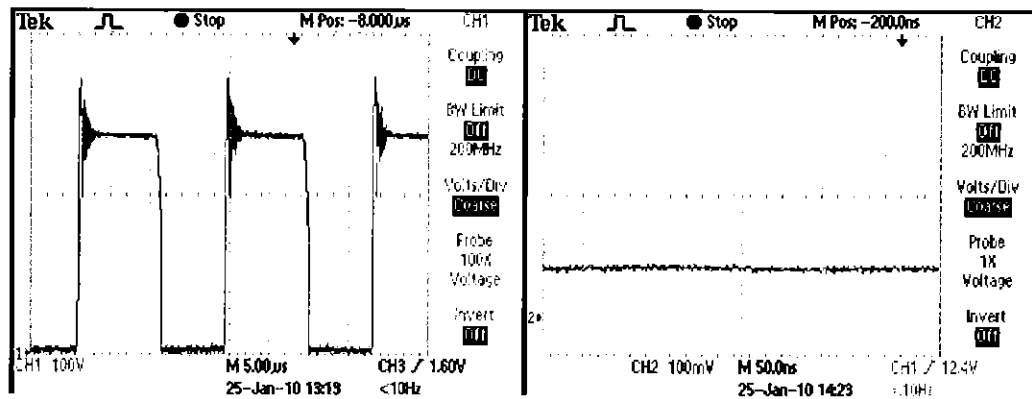
รูปที่ 4.9 แรงดัน V_{ds} ของมอสเฟตและกระแสเอาท์พุต ที่ความถี่งาน 80 โวต์



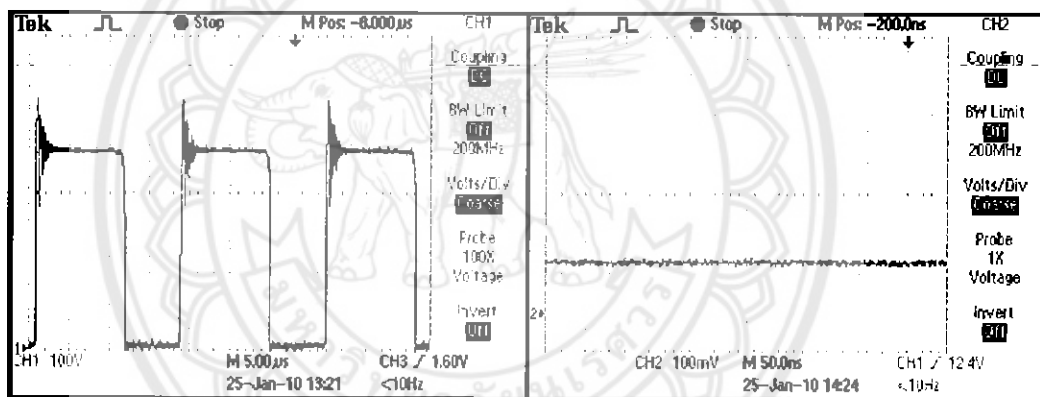
รูปที่ 4.10 แรงดัน V_{ds} ของมอสเฟตและกระแสเอาท์พุต ที่ความถี่งาน 60 โวต์



รูปที่ 4.11 แรงดัน V_{ds} ของมอสเฟตและกระแสเอาท์พุต ที่ความถี่งาน 40 โวต์



รูปที่ 4.12 แรงดัน Vds ของมอสเฟตและกระแสเอาท์พุต ที่ความด้านท่าน 30 โอม



รูปที่ 4.13 แรงดัน Vds ของมอสเฟตและกระแสเอาท์พุต ที่ความด้านท่าน 25 โอม

4.3 การทดสอบวงจรอัดประจุแบตเตอรี่กับแบตเตอรี่

ในขั้นตอนนี้ คือการนำวงจรอัดประจุแบตเตอรี่ต้นแบบไปทดสอบอัดประจุ (Charged) แบตเตอรี่จะถูกทดสอบแบบแท้งขนาด 12 โวลต์ จำนวน 3 ถูก (ซึ่งต่ออนุกรมกันอยู่) โดยก่อนการทดสอบได้ทำการคาบประจุ (Discharged) ของแบตเตอรี่ให้เหลือประมาณ 30 โวลต์ แล้วทำการอัดประจุพร้อมบันทึกค่าพารามิเตอร์ต่างๆ ขณะทำการอัดประจุ

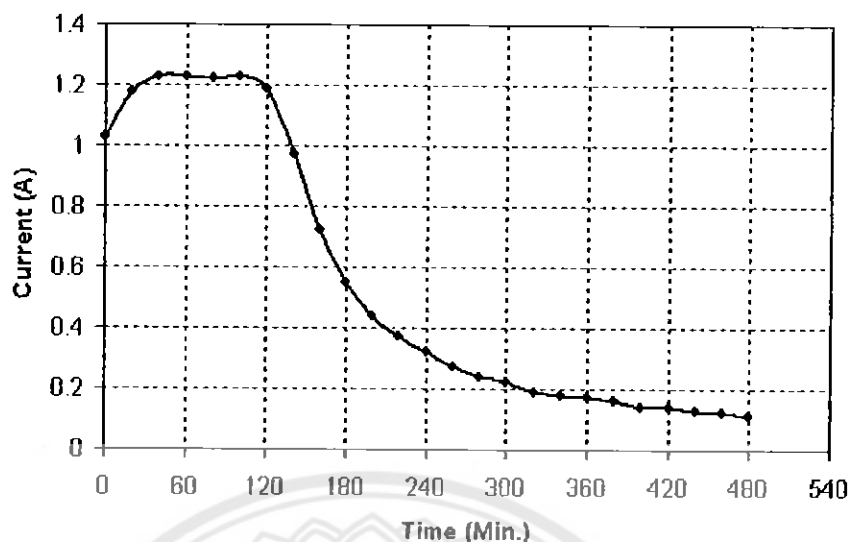


รูปที่ 4.14 การทดสอบกับแบตเตอรี่

จากการทดสอบพบว่า การทำงานของวงจรอัดประจุแบตเตอรี่ต้นแบบสามารถทำงานได้ตามสภาพที่ออกแบบไว้ กล่าวคือการอัดประจุแบตเตอรี่ในช่วงแรก วงจรสามารถจ่ายกระแสไฟฟ้าได้ถึง 1.2 แอมป์ (I_{peak}) ซึ่งเป็นไปตามการออกแบบที่ต้องการความคุณภาพสูงสุด (ใหม่ความคุณภาพ) และเมื่อทำการอัดประจุไปเรื่อยๆ กระแสจะลดลงและแรงดันจะค่อยๆ เพิ่มขึ้น โดยวงจรสามารถจ่ายแรงดันสูงสุดไม่เกิน 42 โวลต์ (V_{max}) ซึ่งเป็นไปตามการออกแบบที่ต้องการความคุณภาพแรงดันสูงสุด (ใหม่ความคุณแรงดัน) ดังแสดงในตารางที่ 4.3

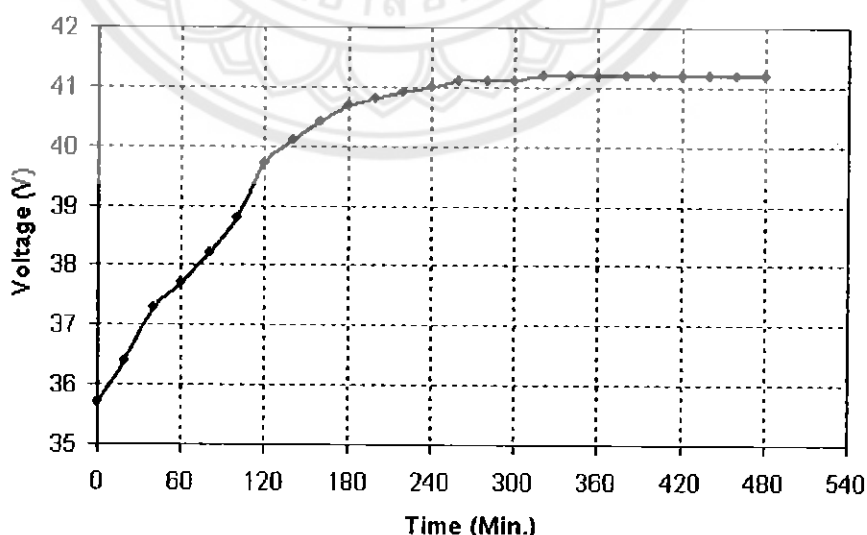
ตารางที่ 4.3 ค่าของแรงดันและกระแสสัมภาร์พุตที่เวลาต่างๆ

เวลา (Min.)	แรงดันด้านเอาท์พุต (V)	กระแสสัมภาร์พุต (A)
0	35.7	1.03
20	36.4	1.18
40	37.3	1.23
60	37.7	1.23
80	38.2	1.22
100	38.8	1.23
120	39.7	1.19
140	40.1	0.97
160	40.4	0.72
180	40.7	0.55
200	40.8	0.44
220	40.9	0.37
240	41.0	0.32
260	41.1	0.27
280	41.1	0.24
300	41.1	0.22
320	41.2	0.19
340	41.2	0.18
360	41.2	0.17
380	41.2	0.16
400	41.2	0.14
420	41.2	0.14
440	41.2	0.13
460	41.2	0.12
480	41.2	0.11



รูปที่ 4.15 กราฟแสดงค่าของกระแสด้านเอาท์พุตเทียบกับเวลา

จากรูปที่ 4.15 แสดงให้เห็นว่าในช่วงแรกของการอัดประจุแบตเตอรี่ วงจรอัดประจุแบตเตอรี่ต้นแบบสามารถคุมค่ากระแสไว้ไม่ให้เกิน 1.2 แอมป์ และเมื่อระยะเวลาผ่านไปกระแสจะค่อยๆ ลดลงจนกระแสทั้งแรงดันที่แบตเตอรี่นี้ค่าเท่ากับแรงดันเอาท์พุตที่ได้ออกแบบไว้กระแสจะหยุดไหลเนื่องจากค่าความต่างศักย์ระหว่างแบตเตอรี่และเอาท์พุตของวงจรอัดประจุต้นแบบจะมีอยู่มาก และรูปที่ 4.16 แสดงผลค่าแรงดันเอาท์พุทของวงจรอัดประจุต้นแบบขณะทำการประจุ



รูปที่ 4.16 กราฟแสดงค่าของแรงดันด้านเอาท์พุตเทียบกับเวลา

4.4 การทดสอบประสิทธิภาพของวงจรอัปประจุแบตเตอรี่

การทดสอบในขั้นสุดท้าย คือ การนำวงจรอัปประจุแบตเตอรี่ต้นแบบไปทดสอบหาค่ากำลังไฟฟ้าทั้งด้านอินพุตและเอาท์พุต เพื่อคำนวณหาประสิทธิภาพที่เกิดขึ้นในวงจร ในการนี้ เลือกใช้เนพะ โอลด์ประเก็ตความด้านทาน (โดยพิจารณาวงจรอัปประจุแบตเตอรี่ต้นแบบเป็นวงจร แหล่งจ่ายไฟกระแสตรง) โดยเริ่มจากค่าความด้านทานมากไปจนถึงค่าความด้านทานน้อย เพื่อให้เห็นกำลังไฟฟ้าในช่วงที่มีการรักษาระดับแรงดันและในช่วงที่มีการรักษาระดับกระแส แล้วทำการวัดค่ากำลังด้านอินพุตและเอาท์พุตด้วยเครื่องวัดกำลังไฟฟ้า

ตารางที่ 4.4 ประสิทธิภาพของวงจรอัปประจุแบตเตอรี่

ความด้านทาน (Ω)	กำลังไฟฟ้าอินพุต (W)	กำลังไฟฟ้าเอาท์พุต (W)	ประสิทธิภาพ (%)
ไม่มีโอลด์	6.00	0.00	0.00
120.96	23.00	14.49	63.00
65.78	35.00	25.91	74.03
45.18	46.00	37.33	81.15
32.60	63.00	49.75	78.97
27.57	53.00	41.85	78.96
25.00	48.00	38.04	79.25
22.45	43.00	34.19	79.51
20.05	40.00	30.44	76.10

ในตารางที่ 4.4 ค่ากำลังไฟฟ้าด้านเข้า กำลังไฟฟ้าด้านออก และประสิทธิภาพคำนวณจากค่าที่ได้จากการทดสอบ นั้นก็อ

$$P_{in} = I_{in} V_{in} \quad (4.2)$$

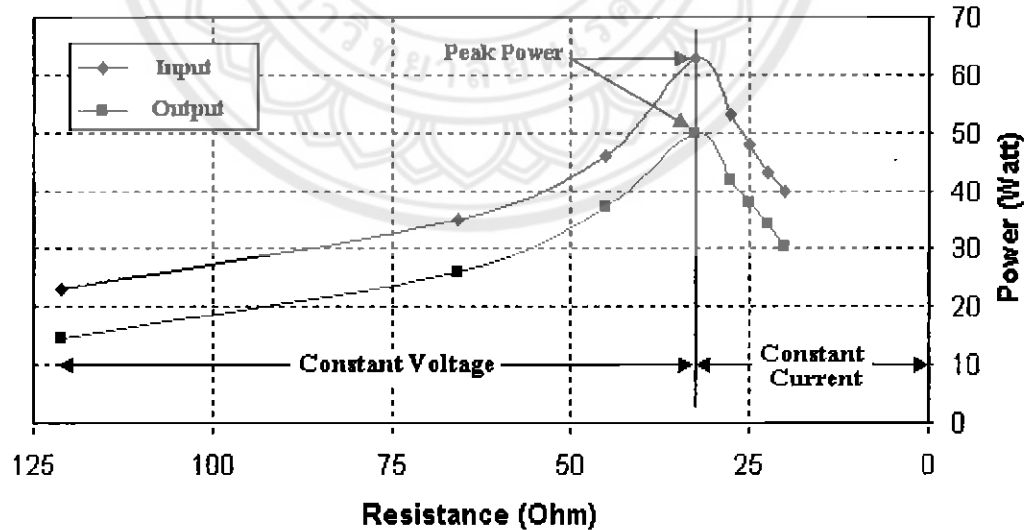
$$P_o = I_{out} V_{out} \quad (4.3)$$

$$\eta = \frac{P_o}{P_{in}} \times 100 \quad (4.4)$$

โดยที่

- P_{in} กีอค่ากำลังค้านเข้า (วัตต์)
- P_o กีอค่ากำลังค้านออก (วัตต์)
- V_{in} กีอค่าแรงดันค้านเข้า (โวลต์)
- V_{out} กีอค่าแรงดันค้านออก (โวลต์)
- I_{in} กีอค่ากระแสค้านเข้า (แอมป์)
- I_{out} กีอค่ากระแสค้านออก (แอมป์)
- η กีอค่าประสิทธิภาพ (%)

จากตารางที่ 4.4 และรูปที่ 4.17 จะพบว่าในช่วงค่าความค้านทานตั้งแต่ 120.96 - 32.60 โอห์ม วงจรสามารถรักษาระดับแรงดันเอาท์พุตไว้ที่ประมาณ 42 โวลต์ (ทำงานในโหมดรักษา ระดับแรงดัน) แต่ถ้าระดับของความค้านทานลดลง ไปกว่านั้น ก็ต้องทำการปรับค่าความค้านทาน ตั้งแต่ 32.60 - 20.05 โอห์ม พบร่วมกับวงจรสามารถควบคุมกระแสໄว้ที่ 1.2 แอมป์ (ทำงานในโหมด ควบคุมกระแส)



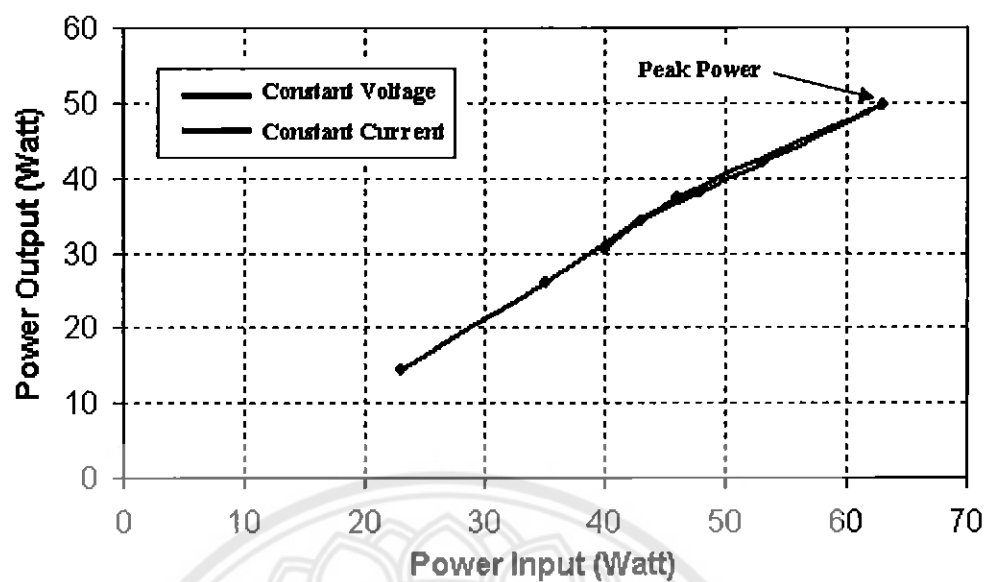
รูปที่ 4.17 กราฟแสดงค่าระหว่างกำลังไฟฟ้าและความค้านทาน

ขยะเดียวกันค่าประสิทธิภาพของวงจรจากการคำนวณที่ค่าความด้านทานต่างๆ พบว่ามีประสิทธิภาพอยู่ระหว่าง 60 - 80 % แสดงให้เห็นว่าค่าประสิทธิภาพเอาท์พุตนี้ค่าใกล้เคียงกับค่าที่ออกแบบไว้คือ 75 % โดยที่ความด้านทานค่า 120.96 โอมจะทำให้วงจรนี้ประสิทธิภาพค่าสุดเมื่อจากโหลดนี้ค่าน้อยมากทำให้กระแสที่เอาท์พุตนี้ค่าต่ำลงแสดงในตารางที่ 4.5

ตารางที่ 4.5 กระแสอินพุตและกระแสเอาท์พุตของวงจรที่ค่าความด้านทานต่างๆ

ความด้านทาน (Ω)	กระแสอินพุต (A)	กระแสเอาท์พุต (A)
ไม่มีโหลด	0.073	0
120.96	0.209	0.347
65.78	0.310	0.626
45.18	0.400	0.905
32.60	0.478	1.232
27.57	0.424	1.232
25.00	0.387	1.232
22.45	0.368	1.231
20.05	0.354	1.231

ในช่วงค่าความด้านทานนี้ค่า 32.60 โอมนี้จะเป็นช่วงที่วงจรกายาระดับแรงดันไว้ที่ 42 โวลต์และจำกัดกระแสไว้ 1.2 แอมป์ เป็นช่วงที่วงจรนี้กำลังไฟฟ้าเอาท์พุตมากที่สุด (Peak Power) คือ 49.75 วัตต์ในรูปที่ 4.18 เป็นการแสดงกราฟระหว่างกำลังไฟฟ้าอินพุตและกำลังไฟฟ้าเอาท์พุต จะพบว่ากำลังไฟฟ้าอินพุตจะมีค่าสูงสุดอยู่ที่ประมาณ 63 วัตต์และกำลังไฟฟ้าเอาท์พุตจะมีค่าสูงสุดอยู่ที่ประมาณ 49.75 วัตต์



รูปที่ 4.18 กราฟแสดงค่าระหว่างกำลังไฟฟ้าเอาท์พุตและกำลังไฟฟ้าอินพุต

บทที่ 5

สรุปผลการทดลองและข้อเสนอแนะ

ในบทนี้จะสรุปผลที่ได้จากการทดลองในโครงการ ปัญหา แนวทางแก้ไข พร้อมเสนอแนะทางการนำไปพัฒนาต่อไปให้เกิดประสิทธิภาพมากยิ่งขึ้น

5.1 สรุปผลการทดลอง

จากการทดลองในบทที่ 4 พบว่าลักษณะของวงจรอัคประจุแบบเตอร์คัมแบบด้วยวิธีการแยกอิสระทางไฟฟ้าสามารถรักษา-rate ดันแรงดันและควบคุมกระแสได้เป็นอย่างดี และเมื่อทำการทดสอบค่าแรงดันและกระแสค่าที่พุดที่ได้นำไปใช้กับความต้องการค่านี้ออกแนวไว้

ผลของการทดสอบวงจรอัคประจุแบบเตอร์คัมจะไม่นิ่唬กด แสดงให้เห็นว่าวงจรสามารถรักษา-rate ดันแรงดันได้คงที่ ประมาณ 42 โวลต์ โดยลักษณะของสัญญาณแรงดันค้านอาจอาห์ทุตมีความกระเพื่อม (Ripple) เล็กน้อย

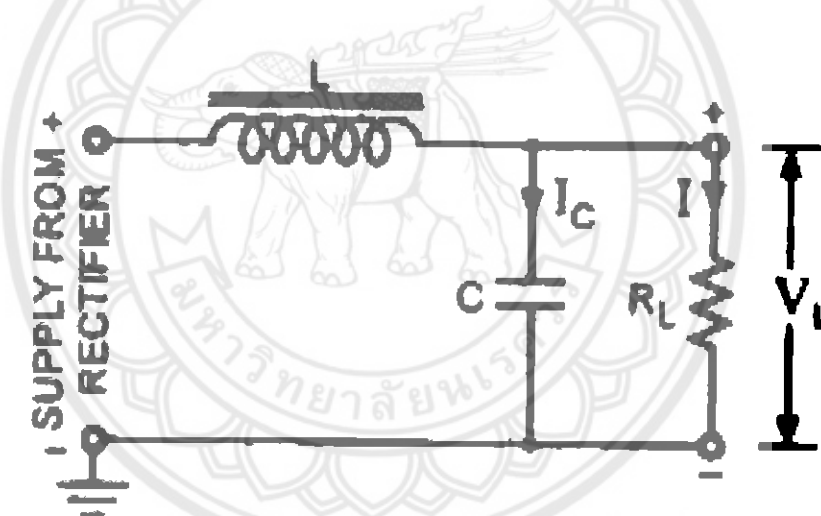
ผลของการทดสอบวงจรอัคประจุแบบเตอร์คัมโดยความด้านท่าน โดยปรับค่าความด้านท่านจาก 100 - 25 โอล์ต พบว่าในช่วงแรกจะความด้านท่านมีค่ามาก วงจรสามารถรักษา-rate ดันแรงดันไว้ที่ 41.5 โวลต์ และเมื่อก่ออยู่ ฯ ปรับค่าความด้านท่านลดลง วงจรสามารถลดลงมาทำงานในโหมดควบคุมกระแสในให้เกิน 1.232 แอมป์ ซึ่งเป็นค่าแรงดันและกระแสตามความต้องการที่ออกแบบไว้ และลักษณะของสัญญาณกระแสและแรงดันมีความกระเพื่อมเล็กน้อย

ผลการทดสอบวงจรอัคประจุแบบเตอร์คัมโดยค่าของวงจรอัคประจุแบบเตอร์คัมแบบเข้ากับแบบเตอร์คัมที่ทำการขยายประจุจนเสร็ม่อนว่าแบบเตอร์คัม ในช่วงแรก วงจรจะทำงานในโหมดควบคุมกระแส โดยจะควบคุมกระแสไว้ที่ 1.23 แอมป์ เมื่อเวลาผ่านไปประมาณ 0.23 หน่วยเดือน วงจรจะลดลงมาทำงานในโหมดรักษา-rate แรงดัน ซึ่งสามารถรักษา-rate แรงดันไว้ที่ 41.2 โวลต์ จนกระแสลดลงจนกระทั่งมีหน่วยเป็นมิลลิแอมป์ (10^{-3}) เข้าสู่ศูนย์ พบว่า rate แรงดันที่เบตเตอร์นีค่า 41.2 โวลต์ ซึ่งหมายถึงแบบเตอร์คัมจะประจุเก็บเต็ม จึงสามารถลดความอัคประจุแบบเตอร์คัมได้ ลักษณะของสัญญาณแรงดันมีความกระเพื่อมเล็กน้อย แต่ลักษณะของสัญญาณกระแสมีความกระเพื่อมเกิดขึ้นมากจนสังเกตเห็นได้ชัดเจน (รูปที่ 4.14)

ผลการทดสอบประสิทธิภาพของวงจรอัคประจุแบบเตอร์ (ในการนี้เลือกใช้เกไฟ โอลด์ ประเภทความต้านทาน) เมื่อวัดค่ากำลังไฟฟ้าด้านอินพุตและเอาท์พุต โดยใช้เครื่องวัดค่ากำลังไฟฟ้า แล้วทำการคำนวณหาประสิทธิภาพของวงจรอัคประจุแบบเตอร์พบว่า มีประสิทธิภาพอยู่ในช่วง 60 ถึง 80 % ซึ่งมีค่าใกล้เคียงกับค่าที่ออกแบบไว้ (75 %) และมีกำลังไฟฟ้าเอาท์พุตสูงสุด 49.75 วัตต์

5.2 ปัญหาและแนวทางแก้ไข

- ก) ความกระเพื่อมของสัญญาณกระแสด้านเอาท์พุต เป็นผลมาจากการที่เป็นแบบเตอร์ ไม่มีความเป็นความด้านทานบริสุทธิ์ (Pure Resistive) เมื่อเทียบกับโอลด์ที่เลือกทรอนิกส์ ที่ใช้ในขั้นตอนการออกแบบ ทำให้ในช่วงของการออกแบบจึงไม่มีการกระเพื่อมของสัญญาณ แต่เมื่อนำมาทดสอบกับแบบเตอร์ซึ่งเกิดการกระเพื่อม แนวทางแก้ไขคืออาจเพิ่มวงจรเอาท์พุตให้ค้างด้านเอาท์พุตของวงจรอัคประจุ ซึ่งมีหน้าที่ทำให้สัญญาณที่ออกมามีความเรียบมากขึ้น แต่อาจทำให้วงจนมีขนาดใหญ่ขึ้นกว่าเดิม



รูปที่ 5.1 วงจร ไฮคั๊ก

- ข) วงจรอัคประจุแบบเตอร์ที่สร้างขึ้นในโครงงานนี้มีค่าแรงดันกระแสด้านเอาท์พุต ใกล้เคียงกับค่าที่ออกแบบไว้ ไม่สามารถทำให้ตรงกับที่ออกแบบไว้พอดี อาจเป็นผลเนื่องมาจากการเลือกใช้อุปกรณ์ที่มีค่าความผิดพลาดสูงและมีค่ากำลังสูญเสียภายในสูง ดังนั้นในการออกแบบวงจรอัคประจุแบบเตอร์ จึงควรเลือกใช้อุปกรณ์ที่มีค่าความผิดพลาดและค่าความด้านทานภายในต่ำและมีความเร็วสวิตชิ่งสูง แต่อุปกรณ์ที่มีความเที่ยงตรงสูงหรืออุปกรณ์ที่เหมาะสมสำหรับวงจรสวิตชิ่งโดยตรงนั้น อาจมีราคาแพงมาก ขึ้นตามประสิทธิภาพของอุปกรณ์นั้นๆ

5.3 แนวทางในการพัฒนาต่อไป

5.3.1 การนำไมโครคอนโทรลเลอร์มาใช้แทนไอซี

เนื่องจากการใช้ไอซีมาเป็นสัญญาณควบคุมสวิตช์นั้น มีข้อดีคือมีราคาถูก แต่อาจทำให้ประสิทธิภาพของวงจรลดลง หากความเสถียรของระบบ เมื่อเทียบกับการนำไมโครคอนโทรลเลอร์มาใช้แทน ไอซี จะทำให้ปัญหาต่างๆของระบบลดลง เนื่องจากไมโครคอนโทรลเลอร์มีความเที่ยงตรงในการประมวลผลและมีความแม่นยำสูง สามารถโปรแกรมคำสั่งต่างๆ ได้ตามต้องการ เพื่อการตอบสนองของระบบที่ดีขึ้น ทำให้ระบบมีความเสถียรขึ้น แต่การนำไมโครคอนโทรลเลอร์เข้ามาใช้แทน ไอซีก็ส่งผลให้มีราคาสูงขึ้น



รูปที่ 5.2 ตัวอย่างของ ไมโครคอนโทรลเลอร์

5.3.2 อุปกรณ์เสริม

สามารถต่ออุปกรณ์แสดงผลค่าแรงดันแรงดันและกระแสที่ด้านเอาท์พุตของจาร เพื่อให้ผู้ใช้สามารถทราบแรงดันและกระแสในช่วงเวลาต่างๆ หรืออาจเพิ่มวงจรไฟ LED เพื่อแสดงสถานการณ์อัคปะจุแบบเตอร์และสถานะเบตเตอร์เต็ม



รูปที่ 5.3 ด้าวบ่ายอุปกรณ์แสดงผล

เอกสารอ้างอิง 1

- [1] สุวัฒน์ ดัน, (2537), เทคนิคและการออกแบบสวิตซิ่งเพาเวอร์ซัพพลาย, บริษัท เอ็นเกล ไทย จำกัด พิมพ์ครั้งที่ 1, สืบค้นเมื่อ 20 กันยายน 2552.
- [2] S. Howimanporn, C. Bunlaksananusorn, "Performance Comparison of Continuous Mode (CCM) and Discontinuous Mode (DCM) Flyback Converters", Department of Control Engineering, Faculty of Engineering, King Mongkut's Institute of Technology Ladkrabang, Bangkok, Thailand, 2003.
- [3] Hang – Seok Choi, "Application Note AN4137 Design Guidelines for Off - Line Flyback Converters Using Fairchild Power Switch (FPS)", Power Supply Group, Fairchild Semiconductor, 2003.
- [4] Hang – Seok Choi, "Application Note AN4140 Transformer Design Consideration for Off - Line Flyback Converters Using Fairchild Power Switch (FPS)", Power Supply Group, Fairchild Semiconductor, 2003.
- [5] Himanashu K.Patel, "Flyback Power Supply EMI Signature and Suppression Techniques", Institute of Technology, Nirma University of Science & Technology, Ahmedabad, Gujarat, India, 2008.
- [6] Jonathan Adams, "Application Note AN - 1024a Flyback Transformer Design for The IRIS40XX Series", International Rectifier, 233 Kansas Street, El Segundo, USA, 2009.
- [7] L.H. Dixon, "Section 5 Inductor and Flyback Transformer Design", Texas Instruments, Dallas, Texas, USA, 2001.

เอกสารอ้างอิง 2

- [2.1] การศึกษาการออกแบบแหล่งจ่ายไฟฟ้ากระแสตรงแรงสูงสำหรับหลอดເອົກເຮົ່າ, สຶນຄິນເມື່ອ 14 ກັນຍາຂນ 2552.
- [2.2] <http://www.electronicscomponentsworld.com>, ສຶນຄິນເມື່ອ 14 ກັນຍາຂນ 2552.
- [2.3] ສුວັດນີ້ ດັ່ນ, 2537, ເຕກະນິກແລະການອອກແບນສວິດຊີ່ງເພາວເວົ່ວໜັກພຸລາຍ, ບຣິຢັກ ເອນເກລ ໄກສ
ຈຳກັດ ພິມພົກຮັງທີ 1, ສຶນຄິນເມື່ອ 20 ກັນຍາຂນ 2552.
- [2.4] <http://www.ferroxcube.com/>, ສຶນຄິນເມື່ອ 18 ກັນຍາຂນ 2552.
- [2.5] <http://www.ferroxcube.com/>, ສຶນຄິນເມື່ອ 18 ກັນຍາຂນ 2552.
- [2.6] www.reuk.co.uk/Lead-Acid-Batteries.html, ສຶນຄິນເມື່ອ 19 ກັນຍາຂນ 2552.
- [2.7] <http://www.phithantoyota.com>, ສຶນຄິນເມື່ອ 20 ກັນຍາຂນ 2552.
- [2.8] http://www.evthai.com/technology_how_work_th.html, ສຶນຄິນເມື່ອ 20 ກັນຍາຂນ 2552.





www.fairchildsemi.com

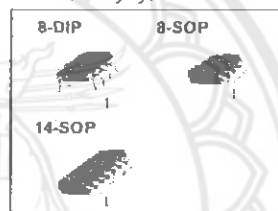
UC3842/UC3843/UC3844/UC3845 SMPS Controller

Features

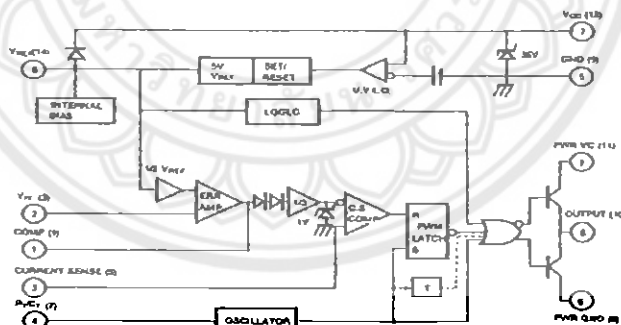
- Low Start up Current
- Maximum Duty Clamp
- UVLO With Hysteresis
- Operating Frequency up to 500KHz

Description

The UC3842/UC3843/UC3844/UC3845 are fixed frequency current-mode PWM controller. They are specially designed for Off-Line and DC to DC converter applications with minimum external components. These integrated circuits feature a trimmed oscillator for precise duty cycle control, a temperature compensated reference, high gain error amplifier, current sensing comparator and a high current totem-pole output for driving a Power MOSFET. The UC3842 and UC3844 have UVLO thresholds of 16V (on) and 10V (off). The UC3843 and UC3845 are 8.5V(on) and 7.9V (off). The UC3842 and UC3843 can operate within 100% duty cycle. The UC3844 and UC3845 can operate with 50% duty cycle.



Internal Block Diagram



*NORMALLY 8DIP/8SOP PIN NO.
†(1) IS 14SOP PINNO.
‡TOGGLE FLIP FLOP USED ONLY IN UC3844, UC3845

Rev. 1.0.1

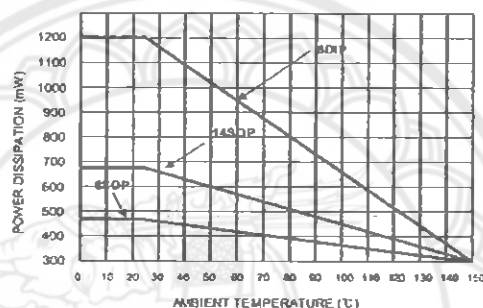
UC3842/UC3843/UC3844/UC3845

Absolute Maximum Ratings

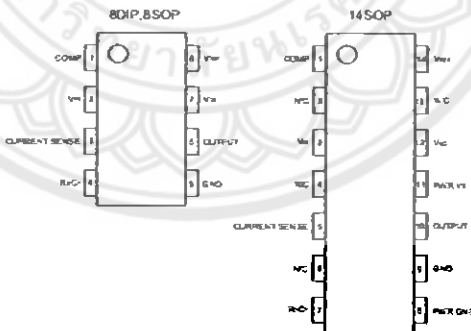
Parameter	Symbol	Value	Unit
Supply Voltage	VCC	30	V
Output Current	IO	± 1	A
Analog Inputs (Pin 2,3)	V(ANA)	-0.3 to 6.3	V
Error Amp Output Sink Current	ISINK (E.A)	10	mA
Power Dissipation at TA \leq 25°C (8DIP)	Pd(Note1,2)	1200	mW
Power Dissipation at TA \leq 25°C (8SOP)	Pd(Note1,2)	460	mW
Power Dissipation at TA \leq 25°C (14SOP)	Pd(Note1,2)	680	mW
Storage Temperature Range	TSTG	-65 ~ +150	°C
Lead Temperature (Soldering, 10sec)	TLEAD	+300	°C

Note:

1. Board Thickness 1.6mm, Board Dimension 76.2mm x 114.3mm, (Reference EIA / JSED51-3, 51-7)
 2. Do not exceed Pd and SOA (Safe Operation Area)

Power Dissipation Curve**Thermal Data**

Characteristic	Symbol	8-DIP	8-SOP	14-SOP	Unit
Thermal Resistance Junction-ambient	R _{thj-amb} (MAX)	100	265	180	°C/W

Pin Array

UC3842/UC3843/UC3844/UC3845

Electrical Characteristics(V_{CC}=15V, R_T=10kΩ, C_T=3.3nF, T_A=0°C to +70°C, unless otherwise specified)

Parameter	Symbol	Conditions	Min.	Typ.	Max.	Unit
REFERENCE SECTION						
Reference Output Voltage	V _{REF}	T _J = 25°C, I _{REF} = 1mA	4.90	5.00	5.10	V
Line Regulation	ΔV _{REF}	12V ≤ V _{CC} ≤ 25V	-	6	20	mV
Load Regulation	ΔV _{REF}	1mA ≤ I _{REF} ≤ 20mA	-	6	25	mV
Short Circuit Output Current	I _{SC}	T _A = 25°C	-	-100	-180	mA
OSCILLATOR SECTION						
Oscillation Frequency	f	T _J = 25°C	47	52	57	kHz
Frequency Change with Voltage	Δf/ΔV _{CC}	12V ≤ V _{CC} ≤ 25V	-	0.05	1	%
Oscillator Amplitude	V _{OSC}	-	-	1.6	-	V _{p-p}
ERROR AMPLIFIER SECTION						
Input Bias Current	I _{BIAS}	-	-	-0.1	-2	μA
Input Voltage	V _{I(E>A)}	V _{pin1} = 2.5V	2.42	2.50	2.58	V
Open Loop Voltage Gain	G _{VO}	2V ≤ V _O ≤ 4V (Note 3)	65	90	-	dB
Power Supply Rejection Ratio	PSRR	12V ≤ V _{CC} ≤ 25V (Note 3)	60	70	-	dB
Output Sink Current	I _{SINK}	V _{pin2} = 2.7V, V _{pin1} = 1.1V	2	7	-	mA
Output Source Current	I _{SOURCE}	V _{pin2} = 2.3V, V _{pin1} = 5V	-0.6	-1.0	-	mA
High Output Voltage	V _{OH}	V _{pin2} = 2.3V, R _L = 15kΩ to GND	5	6	-	V
Low Output Voltage	V _{OL}	V _{pin2} = 2.7V, R _L = 15kΩ to Pin 8	-	0.8	1.1	V
CURRENT SENSE SECTION						
Gain	G _V	(Note 1 & 2)	2.85	3	3.15	V/V
Maximum Input Signal	V _{I(MAX)}	V _{pin1} = 5V (Note 1)	0.9	1	1.1	V
Power Supply Rejection Ratio	PSRR	12V ≤ V _{CC} ≤ 25V (Note 1,3)	-	70	-	dB
Input Bias Current	I _{BIAS}	-	-	-3	-10	μA
OUTPUT SECTION						
Low Output Voltage	V _{OL}	I _{SINK} = 20mA	-	0.08	0.4	V
		I _{SINK} = 200mA	-	1.4	2.2	V
High Output Voltage	V _{OH}	I _{SOURCE} = 20mA	13	13.5	-	V
		I _{SOURCE} = 200mA	12	13.0	-	V
Rise Time	t _R	T _J = 25°C, C _L = 1nF (Note 3)	-	45	150	ns
Fall Time	t _F	T _J = 25°C, C _L = 1nF (Note 3)	-	35	150	ns
UNDER-VOLTAGE LOCKOUT SECTION						
Start Threshold	V _{TH(ST)}	UC3842/UC3844	14.5	16.0	17.5	V
		UC3843/UC3845	7.8	8.4	9.0	V
Min. Operating Voltage (After Turn On)	V _{OPR(MIN)}	UC3842/UC3844	8.5	10.0	11.5	V
		UC3843/UC3844	7.0	7.6	8.2	V

UC3842/UC3843/UC3844/UC3845

Electrical Characteristics (Continued)

(V_{CC}=15V, R_T=10kΩ, C_T=3.3nF, TA=0°C to +70°C, unless otherwise specified)

Parameter	Symbol	Conditions	Min.	Typ.	Max.	Unit
PWM SECTION						
Max. Duty Cycle	D _(Max)	UC3842/UC3843	95	97	100	%
	D _(Max)	UC3844/UC3845	47	48	50	%
Min. Duty Cycle	D _(MIN)	-	-	-	0	%
TOTAL STANDBY CURRENT						
Start-Up Current	I _{ST}	-	-	0.45	1	mA
Operating Supply Current	I _{CC(OPR)}	V _{pin3} =V _{pin2} =ON	-	14	17	mA
Zener Voltage	V _Z	I _{CC} = 25mA	30	36	-	V

Adjust V_{CC} above the start threshold before setting at 15V

Notez

1. Parameter measured at trip point of latch
 2. Gain defined as:
$$A = \frac{\Delta V_{pin1}}{\Delta V_{pin3}}, 0 \leq V_{pin3} \leq 0.8V$$
 3. These parameters, although guaranteed, are not 100% tested in production.

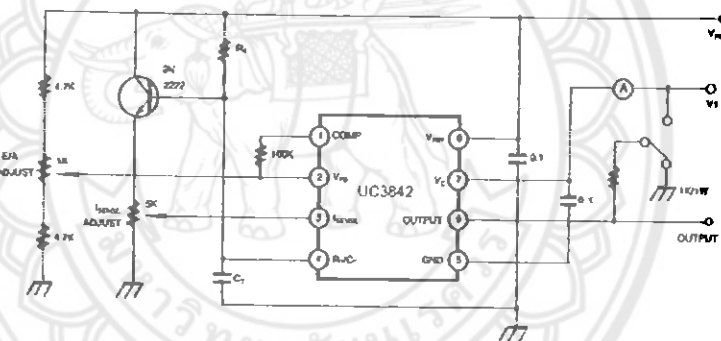


Figure 1. Open Loop Test Circuit

High peak currents associated with capacitive loads necessitate careful grounding techniques. Timing and bypass capacitors should be connected close to pin 5 in a single point ground. The transistor and 5k Ω potentiometer are used to sample the oscillator waveform and apply an adjustable ramp to pin 3.



FAIRCHILD
SEMICONDUCTOR[®]

QFET[™]

FQP7N80C/FQPF7N80C
800V N-Channel MOSFET

General Description

These N-Channel enhancement mode power field effect transistors are produced using Fairchild's proprietary, planar stripe, DMOS technology.

This advanced technology has been especially tailored to minimize on-state resistance, provide superior switching performance, and withstand high energy pulse in the avalanche and commutation mode. These devices are well suited for high efficiency switch mode power supplies.

Features

- 6.6A, 800V, $R_{DS(on)} = 1.9\Omega @ V_{GS} = 10V$
- Low gate charge (typical 27 nC)
- Low Crss (typical 10 pF)
- Fast switching
- 100% avalanche tested
- Improved dv/dt capability



Absolute Maximum Ratings $T_C = 25^\circ C$ unless otherwise noted

Symbol	Parameter	FQP7N80C	FQPF7N80C	Units
V_{DSS}	Drain-Source Voltage	800		V
I_D	Drain Current - Continuous ($T_C = 25^\circ C$)	6.6	6.6 *	A
	- Continuous ($T_C = 100^\circ C$)	4.2	4.2 *	A
I_{DH}	Drain Current - Pulsed (Note 1)	26.4	26.4 *	A
V_{GSS}	Gate-Source Voltage		± 30	V
E_{AS}	Single Pulsed Avalanche Energy (Note 2)		580	mJ
I_{AR}	Avalanche Current (Note 1)		6.6	A
E_{AR}	Repetitive Avalanche Energy (Note 1)		16.7	mJ
dV/dt	Peak Diode Recovery dv/dt (Note 3)		4.5	V/ns
P_D	Power Dissipation ($T_C = 25^\circ C$)	167	56	W
	- Derate above $25^\circ C$	1.33	0.44	W/ $^\circ C$
T_J, T_{STG}	Operating and Storage Temperature Range	-55 to +150		$^\circ C$
T_L	Maximum lead temperature for soldering purposes, 1/8" from case for 5 seconds	300		$^\circ C$

* Drain current limited by maximum junction temperature

Thermal Characteristics

Symbol	Parameter	FQP7N80C	FQPF7N80C	Units
R_{JC}	Thermal Resistance, Junction-to-Case	0.75	2.25	$^\circ C/W$
R_{CS}	Thermal Resistance, Case-to-Sink Typ.	0.5	-	$^\circ C/W$
R_{JA}	Thermal Resistance, Junction-to-Ambient	62.5	62.5	$^\circ C/W$

FQP7N80C/FQPF7N80C

Electrical Characteristics $T_C = 25^\circ\text{C}$ unless otherwise noted						
Symbol	Parameter	Test Conditions	Min	Typ	Max	Units
Off Characteristics						
BV_{DSS}	Drain-Source Breakdown Voltage	$V_{GS} = 0 \text{ V}, I_D = 250 \mu\text{A}$	800	--	--	V
$\Delta \text{BV}_{\text{DSS}} / \Delta T_J$	Breakdown Voltage Temperature Coefficient	$I_D = 250 \mu\text{A}$, Referenced to 25°C	--	0.93	--	$\text{V}/^\circ\text{C}$
$I_{\text{DS}(\text{S})}$	Zero Gate Voltage Drain Current	$V_{DS} = 800 \text{ V}, V_{GS} = 0 \text{ V}$	--	--	10	μA
		$V_{DS} = 640 \text{ V}, T_C = 125^\circ\text{C}$	--	--	100	μA
I_{GSSF}	Gate-Body Leakage Current, Forward	$V_{GS} = 30 \text{ V}, V_{DS} = 0 \text{ V}$	--	--	100	nA
I_{GSSR}	Gate-Body Leakage Current, Reverse	$V_{GS} = -30 \text{ V}, V_{DS} = 0 \text{ V}$	--	--	-100	nA
On Characteristics						
$V_{GS(\text{th})}$	Gate Threshold Voltage	$V_{DS} = V_{GS}, I_D = 250 \mu\text{A}$	3.0	--	5.0	V
$R_{DS(\text{on})}$	Static Drain-Source On-Resistance	$V_{DS} = 10 \text{ V}, I_D = 3.3 \text{ A}$	--	1.57	1.9	Ω
g_{FS}	Forward Transconductance	$V_{DS} = 50 \text{ V}, I_D = 3.3 \text{ A}$ (Note 4)	--	5.5	--	S
Dynamic Characteristics						
C_{iss}	Input Capacitance	$V_{DS} = 25 \text{ V}, V_{GS} = 0 \text{ V}, f = 1.0 \text{ MHz}$	--	1290	1680	pF
C_{oss}	Output Capacitance		--	120	155	pF
C_{trs}	Reverse Transfer Capacitance		--	10	13	pF
Switching Characteristics						
$t_{d(on)}$	Turn-On Delay Time	$V_{DD} = 400 \text{ V}, I_D = 6.6 \text{ A}, R_G = 25 \Omega$	--	35	80	ns
t_r	Turn-On Rise Time		--	100	210	ns
$t_{d(off)}$	Turn-Off Delay Time		--	50	110	ns
t_f	Turn-Off Fall Time		--	60	130	ns
Q_g	Total Gate Charge	$V_{DS} = 640 \text{ V}, I_D = 6.6 \text{ A}, V_{GS} = 10 \text{ V}$	--	27	35	nC
Q_{gs}	Gate-Source Charge		--	8.2	--	nC
Q_{gd}	Gate-Drain Charge		--	11	--	nC
Drain-Source Diode Characteristics and Maximum Ratings						
I_S	Maximum Continuous Drain-Source Diode Forward Current		--	--	6.6	A
I_{SDM}	Maximum Pulsed Drain-Source Diode Forward Current		--	--	26.4	A
V_{SD}	Drain-Source Diode Forward Voltage	$V_{GS} = 0 \text{ V}, I_S = 6.6 \text{ A}$	--	--	1.4	V
t_r	Reverse Recovery Time	$V_{GS} = 0 \text{ V}, I_S = 6.6 \text{ A}, dI_S / dt = 100 \text{ A}/\mu\text{s}$	--	650	--	ns
Q_{rr}	Reverse Recovery Charge	(Note 4)	--	7.0	--	μC

Notes:

1. Repetitive Rating. Pulse width limited by maximum junction temperature.
2. L = 25nH, $I_S = 6.6 \text{ A}$, $V_{GS} = 50 \text{ V}$, $R_G = 25 \Omega$, Starting $T_J = 25^\circ\text{C}$.
3. $I_{SD} \leq 6.6 \text{ A}$, $f = 100 \text{ Hz}$, $V_{GS} = 50 \text{ V}$, $T_J = 25^\circ\text{C}$.
4. Pulse Test. Pulse width $\leq 300 \mu\text{s}$, Duty cycle $\leq 2\%$.
5. Essentially independent of operating temperature.

ประวัติผู้ดำเนินโครงการ



ชื่อ นายนพพล หมุ่มาก
ภูมิลำเนา 284 หมู่ 13 ต.ท่าชัย อ.ศรีสัชนาลัย จ.สุโขทัย

ประวัติการศึกษา

- จบระดับมัธยมศึกษาจากโรงเรียนสวรรค์อนันต์วิทยา
- ปัจจุบันกำลังศึกษาในระดับปริญญาตรีชั้นปีที่ 4 สาขาวิชาศิวกรรมไฟฟ้า คณะวิศวกรรมศาสตร์ มหาวิทยาลัยนเรศวร

E-mail: 12omance11@hotmail.com

